



Benemérita Universidad Autónoma de Puebla  
Posgrado en Ingeniería del Lenguaje y del Conocimiento  
Facultad de Ciencias de la Computación

# Algoritmo de Membresía para Gramáticas de Reemplazo de Hiperaristas

Tesis

Que para obtener el grado de:

**Dra. en Ingeniería del Lenguaje y del Conocimiento**

**Presenta**

**M. C. Yolanda Moyao Martínez**

Directora:

Dra. Darnes Vilariño Ayala

Director externo:

Dr. Carlos Guillén Galván

Co-Director:

Dr. José de Jesús Lavallo Martínez

Puebla, agosto de 2021







*Dedicado a  
Mis papás, esposo y hermanos*

# Agradecimientos

Cuando quise rendirme solo miré al inicio y ya no lo pude ver más pero el final aunque apenas se veía ahí seguía.

---

Yolanda

## Agradezco

A mi papá Alejandro que aunque ya no está presente, siempre me alentó a superarme, a seguir adelante y no quedar en “el montón”.

A mi querido esposo Juan Manuel quién fue un gran apoyo emocional en los momentos difíciles durante el tiempo que duró este trabajo de investigación, quién me apoyó y alentó para continuar, cuando parecía que me iba a rendir.

A mi mamá Gela y hermanos por estar siempre presentes, acompañándome y por el apoyo moral, que me brindaron a lo largo de esta etapa de mi vida.

A mi hermano el Dr. Alejandro Moyaho Martínez, quién siempre me alentó a continuar y llegar hasta el final y además colaboró en la revisión de esta tesis.

A todos mis compañeros y amigos y en especial a Andy y Bety por todo el apoyo, por las platicas, los momentos difíciles pero sobre todo por la paciencia durante esta etapa de estudio.

A mi directora de tesis la Dra. Darnes Vilariño Ayala, quién con su experiencia, conocimiento y motivación me orientó en la investigación, así como por su paciencia y apoyo incondicional para culminar el trabajo con éxito, pese al estado delicado de su salud y a las adversidades e inconvenientes que se presentaron durante este proceso.

A mis co-directores de tesis, los doctores José de Jesús Lavalle Martínez y Carlos Guillén Galván quienes siempre compartieron de su tiempo, aún sin importar que muchas veces parecía que no había resultados, a ellos que continuaron depositando su confianza en mí y que siempre estuvieron dispuestos a compartir su conocimiento.

Al Dr. David Pinto Avendaño, a quién admiro por ese apoyo incondicional y le agradezco que con su sabiduría y conocimiento me motivó para seguir adelante y desarrollarme como profesional.

A la Dra. Josefa Somodevilla por la paciencia y el apoyo brindado para concluir este trabajo de investigación con éxito, quién a lo largo de este trabajo siempre me asesoró y

apoyó en todo lo necesario.

A todos los doctores que conforman el comité tutorial por su paciencia y tiempo dedicado durante este trabajo de investigación.

A la BUAP por todo el apoyo brindado para realizar mis estudios de doctorado.

Al Programa de doctorado LKE por darme la oportunidad y por creer en mi trabajo.

Al CONACyT por el apoyo, a través del financiamiento otorgado para realizar este trabajo de investigación bajo el número de beca 484107.



---

---

# Resumen

---

Este trabajo trata del problema de membresía en Gramáticas de Reemplazo de Hiperaristas (*HRG*). Dado un hipergrafo  $H$  con nodos e hiperaristas etiquetadas, dirigidas y enraizadas, el problema consiste en determinar si  $H \in L(G)$ , donde  $G \in HRG$ , es decir si  $H$  está en el lenguaje generado por  $G$ . Se conoce que el problema de membresía para *HRG* es, en general, intratable. Sin embargo, este problema se ha resuelto en tiempo polinomial para algún tipo restringido de *HRG*. El objetivo principal de esta investigación es desarrollar un algoritmo correcto con complejidad polinomial que resuelva el problema de membresía en *HRG*. Para lograr el objetivo fue necesario utilizar una definición alternativa de la matriz de adyacencias para hipergrafos, la cual es una generalización de la matriz de adyacencias para grafos. En este trabajo se obtuvo un algoritmo *Analizador*, cuya complejidad es del orden  $O(l^5)$ , donde  $l$  es el número de vértices del hipergrafo de entrada. Este algoritmo lleva a cabo el análisis directamente en la Matriz de Adyacencias del hipergrafo  $H$ . También, para el algoritmo propuesto se presenta la demostración de su corrección.





---

---

# Índice general

---

Agradecimientos . . . . .	V
Resumen . . . . .	VII
<b>Índice de figuras</b>	<b>IX</b>
<b>1. Introducción</b>	<b>1</b>
<b>2. Marco Teórico</b>	<b>5</b>
2.1. Hipergrafos y Gramáticas de Reemplazo de Hiperaristas . . . . .	5
2.1.1. Reemplazo de Hiperaristas por Hipergrafos . . . . .	6
2.1.2. Gramáticas de Reemplazo de Hiperaristas . . . . .	7
2.1.3. Derivación . . . . .	7
2.2. Parametrización . . . . .	10
2.2.1. Métricas de parametrización . . . . .	11
2.2.2. Descomposición hiperarbórea . . . . .	12
<b>3. Proceso de Análisis</b>	<b>13</b>
3.1. Analizador . . . . .	13
3.1.1. Matriz de Adyacencia . . . . .	13
3.2. Algoritmo <i>Analizador</i> . . . . .	19
3.2.1. Demostración de la corrección del <i>Analizador</i> . . . . .	27
3.2.2. Complejidad del Analizador . . . . .	32
3.2.3. Discusión de la Complejidad . . . . .	34
<b>4. Conclusiones</b>	<b>35</b>
4.1. Contribuciones . . . . .	35
4.2. Trabajo a Futuro . . . . .	36



---

# Índice de figuras

---

2.1. a) Hipergrafo $H$ . b) Reemplazo de hiperarista $Y$ por $H$ . . . . .	7
2.2. a) Reglas de producción para $G$ . b) Derivación a partir de $G$ para el hipergrafo $H_3$ que representa el significado "The boy wants the girl to believe that he wants her". . . . .	8
2.3. a) Hipergrafo $H$ y b) Descomposición hiperarbórea de $H$ . . . . .	12
3.1. Hipergrafo $H$ para el ejemplo 3.1.1. . . . .	14
3.2. $M_H$ del hipergrafo en la Figura 3.1 para el ejemplo 3.1.1. . . . .	14
3.3. $HRG$ para el ejemplo 3.1.1. . . . .	15
3.4. $M_{X_0}$ del hipergrafo en la Figura 3.3 para el ejemplo 3.1.1. . . . .	15
3.5. $M_{X_3}$ del hipergrafo en la Figura 3.3 para el ejemplo 3.1.1. . . . .	15
3.6. $M_{X_3}$ del hipergrafo en la Figura 3.3 para el ejemplo 3.1.1. . . . .	15
3.7. $M_{X_2}$ del hipergrafo en la Figura 3.3 para el ejemplo 3.1.1. . . . .	15
3.8. $M_{X_1}$ del hipergrafo en la Figura 3.3 para el ejemplo 3.1.1. . . . .	16
3.9. $M_{X_1}$ del hipergrafo en la Figura 3.3 para el ejemplo 3.1.1. . . . .	16
3.10. Hipergrafo $H_1$ para el ejemplo 3.1.2. . . . .	16
3.11. Matriz $M_{H_1}$ para el ejemplo 3.1.2. . . . .	16
3.12. $M_S$ del hipergrafo en la Figura 3.10 para el ejemplo 3.1.2. . . . .	16
3.13. Matriz $M_{H_2}$ para el ejemplo 3.1.2. . . . .	17
3.14. Matriz $M_X$ para el ejemplo 3.1.2. . . . .	17
3.15. Hipergrafo $H_2$ para el ejemplo 3.1.2. . . . .	17
3.17. Matriz $M_{H_3}$ para el ejemplo 3.1.2. . . . .	18
3.18. Matriz $M_Y$ para el ejemplo 3.1.2. . . . .	18
3.16. Hipergrafo $H_2$ para el ejemplo 3.1.2. . . . .	18
3.19. Hipergrafo $H_3$ para el ejemplo 3.1.2. . . . .	18
3.20. Empatando fila $a$ de la matriz $M_H$ con fila 1 de $M_{X_3}$ . . . . .	23
3.21. No empata fila $b$ de la matriz $M_H$ con fila 1 de $M_{X_3}$ . . . . .	24

3.22. Empatando fila $b$ de la matriz $M_H$ con fila 1 de $M_{X_3}$ . . . . .	25
3.23. No empata fila $c$ de la matriz $M_H$ con fila 1 de $M_{X_1}$ . . . . .	26
3.24. Empatando la fila $c$ de la matriz $M_H$ con la fila 1 de $M_{X_1}$ . . . . .	26
3.25. No empata fila $d$ de la matriz $M_H$ con fila 1 de $M_{X_1}$ . . . . .	27
3.26. Matriz $M_{H_I}$ para la demostración. . . . .	28
3.27. Matriz $M_A$ para la demostración. . . . .	28
3.28. Matriz $M_{H_I}$ para la demostración. . . . .	29
3.29. Matriz $M_{H_I}$ para la demostración. . . . .	30
3.30. Matriz $M_{H'}$ para la demostración. . . . .	30
3.31. Matriz $M_X$ para la demostración. . . . .	30
3.32. Matriz $M_H$ que subsume a $M_X$ para la demostración. . . . .	31
3.33. Matriz $M_H$ de $H$ generado por la $HRG$ para la demostración. . . . .	31

---

# Introducción

---

En este trabajo de investigación se propone un algoritmo *Analizador* para resolver el problema de membresía en Gramáticas de Reemplazo de Hiperaristas (*HRG*), por sus siglas en inglés. El problema de membresía consiste en reconocer el hipergrafo de entrada  $H$  a través de las reglas de producción.

Las gramáticas de hipergrafos se han desarrollado como una extensión del concepto formal de Gramáticas Libres de Contexto. En éstas, el concepto de reescritura de símbolos por cadenas se generaliza al reemplazo de hiperaristas por hipergrafos, a pesar de que en el caso de cadenas, el reemplazo de una de éstas por otra suele ser un proceso sencillo. Para el caso de hipergrafos, es necesario encontrar un hipergrafo para ser reemplazado por otro hipergrafo [1].

En ciencias de la computación un hipergrafo es una generalización de un grafo, cuyas hiperaristas pueden relacionar a cualquier cantidad de vértices, en lugar de sólo un máximo de dos como en el caso particular de grafos, también puede ser dirigido y con hiperaristas etiquetadas. La hiperarista es un elemento que relaciona a más de dos vértices, eventualmente ésta puede ser reemplazada con algún otro hipergrafo. De tal forma que la hiperarista se elimina y algún hipergrafo  $R$  se reemplaza en el hipergrafo original [2] [3].

Las *HRG*, son gramáticas de grafos libres de contexto presentadas por [4] y [5] como uno de los formalismos más exitosos para la descripción de lenguajes de grafos, debido a que sus propiedades teóricas del lenguaje se parecen a las que ya se tienen definidas en el ámbito de las gramáticas libres de contexto.

Las *HRG*, las cuales son un formalismo para la generación de lenguajes de hipergrafos, han propiciado el interés de este tipo de lenguaje debido a las aplicaciones en diferentes áreas, tales como procesamiento del lenguaje natural, en particular en la comprensión y generación de lenguaje, en la traducción automática basada en semántica; así también en áreas como teoría de juegos, bases de datos e inteligencia artificial, entre otras [6],[7] [8], [9] y [10].

A pesar de que las propiedades teóricas del lenguaje generado por las *HRG* se asemejan a las de las gramáticas libres de contexto, las similitudes entre cadenas y grafos no se extienden

---

a uno de los problemas más importantes en el contexto de los lenguajes formales, nos referimos al problema de membresía en *HRG* [11].

Se conoce ampliamente que el problema de membresía para *HRG* es, en general, intratable; [12] y [13] sin embargo, este problema puede ser resuelto en tiempo polinomial para algunos tipos restringidos de *HRG*. Después de la revisión bibliográfica, se encontraron diferentes métodos que han sido propuestos para dar solución a dicho problema.

Por ejemplo, [1] presenta una versión extendida "Top-Down" para *HRG* del algoritmo CKY (Cocke-Younger-Kasami) de gramáticas libres de contexto para cadenas sobre grafos de grado acotado; éstos permiten ejecutar el algoritmo analizador en un tiempo polinomial respecto del tamaño del grafo de entrada.

En el contexto del procesamiento del lenguaje natural con representaciones de significado a través de grafos, [14] presenta un enfoque de análisis que usa *HRG* síncronas para la generación y traducción automática basada en semántica.

Por otro lado [15] recomienda el uso de *HRG* para describir representaciones de significado en Procesamiento del Lenguaje Natural (PLN), y en este sentido [16] propone la Representación de Significado Abstracto (AMR), por sus siglas en inglés. Chiang presenta un algoritmo para un analizador "Bottom-Up" en *HRG* representado a través de un sistema deductivo. Este algoritmo se basa en una buena descomposición hiperarbórea de las reglas de la gramática, aunque con ciertas restricciones, tal como, ancho y grado del hipergrafo acotados. El algoritmo también ofrece un esquema de optimización que, junto con las restricciones antes mencionadas, permite ejecutar el analizador en un tiempo polinomial.

El algoritmo que plantea [3] y [6] solamente emplean gramáticas de grafos y lo aplican para representar algunos aspectos del significado de una oración en inglés. Del mismo modo, [17] desarrolla un algoritmo para Gramáticas de Grafos Regulares [18], las cuales son una subfamilia de los Lenguajes de Reemplazo de Hiperaristas (*HRL*), por sus siglas en inglés.

[19] Propone un analizador eficiente bottom-up para *HRG* llamado analizador predictivo de reducción de cambios para una subclase de gramáticas, la cual generalizan el concepto de analizador de cadena (*SLR(1)*) a grafos.

[20] Propone un algoritmo para resolver el problema de membresía en tiempo polinomial del  $O(n^2 + mn)$ , donde  $n$  es el tamaño del grafo de entrada y  $m$  es el tamaño de la gramática. Este algoritmo se basa en gramáticas de Grafos Acíclicos y Dirigidos (*DAG*) por sus siglas en inglés, las cuales son un caso especial de las *HRG*.

[21] Propone un algoritmo para resolver el problema del analizador uniforme, es decir que la *HRG* se considera como parte de la entrada, la solución que presentan es en tiempo

polinomial para un tipo de  $HRG$  que cumple dos condiciones, la preservación de reentrada y la preservación de orden, la cual se refiere al orden en que los nodos del hipergrafo de entrada pueden ser instanciados.

[22] Propone una extensión ponderada y polinomial para el algoritmo que resuelve el problema del analizador uniforme con preservación del orden de instanciación en los nodos del hipergrafo de entrada.

El algoritmo *Analizador* que aquí se propone resuelve el problema de membresía en  $HRG$ . Se consigue realizando el proceso de análisis sobre una representación matricial de  $H$ , en particular sobre la matriz de adyacencias. De tal forma que se define un nuevo tipo de Matriz de Adyacencias ( $MA$ ), como una herramienta más para el análisis de hipergrafos.

El *Analizador* utiliza la definición de  $MA$  para hipergrafos. Por eso se ha definido el concepto de matriz de adyacencias, el cual es una generalización de la matriz de adyacencias de un grafo, correspondiente al hipergrafo de entrada  $H$ . En ésta las etiquetas de las hiperaristas quedan representadas a través de conjuntos, los cuales forman cada entrada de la matriz correspondiente al hipergrafo de entrada  $H$ .

El análisis de la complejidad para el *Analizador* propuesto arroja una complejidad polinomial de orden  $O(l^5)$ , donde  $l$  es el número de vértices del hipergrafo de entrada  $H$ . Así mismo, se ha demostrado la corrección del algoritmo *Analizador*, lo cual contrasta con las propuestas algorítmicas de otros autores.

La tesis está organizada de la siguiente manera: consta de 4 capítulos y un cuerpo bibliográfico. El capítulo 1 Introducción, en éste se abordan los antecedentes y los objetivos del trabajo de investigación. El capítulo 2 Marco teórico de la investigación, en éste se enmarcan los aspectos teóricos y conceptuales asociados a algunos conceptos relacionados con las  $HRG$ , como el mecanismo de reemplazo de hiperaristas por hipergrafos, la relación de derivación y su cerradura reflexiva y transitiva. También se describe ahí el lenguaje de hipergrafos, así como el concepto de parametrización. El capítulo 3 Proceso de Análisis, se presenta el algoritmo *Analizador* que resuelve el problema de membresía en  $HRG$ , así como el desarrollo de un ejemplo que muestra su funcionamiento; también la demostración de que el *Analizador* es correcto y el análisis de su complejidad. El capítulo 4 Conclusiones y trabajo a futuro, en este apartado se describen los principales resultados obtenidos, y las aportaciones de este trabajo de investigación. También se identifican algunas líneas de investigación apoyadas en los resultados obtenidos.





---

# Marco Teórico

---

En este capítulo se presentan los antecedentes y las consideraciones teóricas bajo las que se sustenta el trabajo de investigación, de tal forma que se presenta la revisión de los avances previos logrados en esta línea de investigación y que de forma directa o indirecta abordan el tema propuesto en los objetivos y que además ayudan a justificar el trabajo de investigación desarrollado.

## 2.1. Hipergrafos y Gramáticas de Reemplazo de Hiperaristas

Un hipergrafo es la generalización de un grafo, donde cada **hiperarista**  $e$  [6] puede relacionar a cualquier subconjunto de vértices, los cuales se denominan vértices adjuntos, incluyendo al conjunto vacío. Un hipergrafo se forma a partir de un conjunto de vértices junto con un número variado de hiperaristas dirigidas [23], [24] y [25].

**Definition 1.** Un **hipergrafo con hiperaristas etiquetadas y dirigidas** es una terna  $H = (V, E, lab)$ , donde  $V$  es un conjunto de vértices. Cada  $e \in E$  es un par  $(R_e, D_e)$ , tal que  $R_e \subseteq V$  es el origen de  $e$ , y  $D_e \subseteq V \setminus R_e$  es el destino.  $C$  es un conjunto numerable de etiquetas, y  $lab$  es una función de  $E$  en  $C$ .

**Definition 2.** Un hipergrafo con hiperaristas etiquetadas y dirigidas  $H = (V, E, lab)$  es **enraizado** si,

- $H$  es acíclico y
- $V = \{v_R\} \cup N$ ,  $\{v_R\} \cap N = \emptyset$ ,  $v_R$  es un vértice distinguido y llamado nodo raíz del hipergrafo  $H$ .  $N$  es el conjunto de vértices que no son raíz.

Cuando hablemos de hipergrafo, entiéndase que nos referimos a un hipergrafo enraizado con hiperaristas etiquetadas y dirigidas.

## 2.1. HIPERGRAFOS Y GRAMÁTICAS DE REEMPLAZO DE HIPERARISTAS

---

**Definition 3.** [26] Sea  $H = (V, E, lab)$  un hipergrafo;  $V$  un conjunto de vértices, y  $a, b \in V$ . Entonces,  $a$  es un vértice adyacente a  $b$  si existe una hiperarista  $e \in E$  tal que  $a \in R_e$  y  $b \in D_e$ .

### 2.1.1. Reemplazo de Hiperaristas por Hipergrafos

En esta sección se muestran las definiciones del proceso de derivación de hipergrafos y reemplazo de una hiperarista por un hipergrafo. Estos son elementos necesarios para abordar el concepto de la *HRG*, el cual es fundamental en el diseño del *Analizador*.

Los vértices externos se definen como una lista ordenada de vértices distintos, llamados *ext*. El vértice raíz se define como un vértice designado como la raíz del hipergrafo desde donde cada hiperarista es dirigida; ambos elementos especifican cómo reemplazar una hiperarista por un hipergrafo.

Las *HRG* permiten manipular hipergrafos mediante la sustitución de hiperaristas. Una hiperarista  $e \in H$  es reemplazada por un hipergrafo  $H'$ , a través del vértice raíz y los vértices externos. Inicialmente la arista  $e$  es removida y los vértices externos de  $H'$  mapeados con los vértices adjuntos de  $e$ . Es decir, el  $i$ -ésimo y  $j$ -ésimo vértices externos de la hiperarista  $e$  son mapeados con el  $i$ -ésimo y  $j$ -ésimo vértices adjuntos en el hipergrafo  $H$ .

**Definition 4.** [24] Sea  $\mathcal{H}_C$  la clase de todos los hipergrafos sobre el conjunto de etiquetas  $C$ ;  $H \in \mathcal{H}_C$  un hipergrafo, y  $B \subseteq E(H)$  un conjunto de hiperaristas para ser reemplazadas. Sea  $repl : B \rightarrow \mathcal{H}_C$  una función que realiza la operación de reemplazo de la manera que se describe a continuación.

El **reemplazo** de  $B$  en  $H$  hecho por  $repl$  produce el hipergrafo  $H[repl]$ . Este se obtiene al quitar  $B$  de  $E_H$ , agregando disjuntamente los vértices e hiperaristas de  $repl(e)$  por cada  $e \in B$  y empatando el  $i$ -ésimo vértice externo con el  $i$ -ésimo vértice adjunto de  $e$  para cada  $e \in B$ . Todas las hiperaristas mantienen sus etiquetas y vértices adyacentes; los vértices externos de  $H[repl]$  son los de  $H$ . Si  $B = \{e_1, \dots, e_n\}$  y  $repl(e_i) = R_i$ , para  $i = 1, \dots, n$ , entonces se escribe  $H[e_1/R_1, \dots, e_n/R_n]$  en lugar de  $H[repl]$ .

La Figura 2.1 inciso b) muestra el reemplazo de la hiperarista  $Y$  por el hipergrafo  $H$ , el cual se muestra en el inciso a).

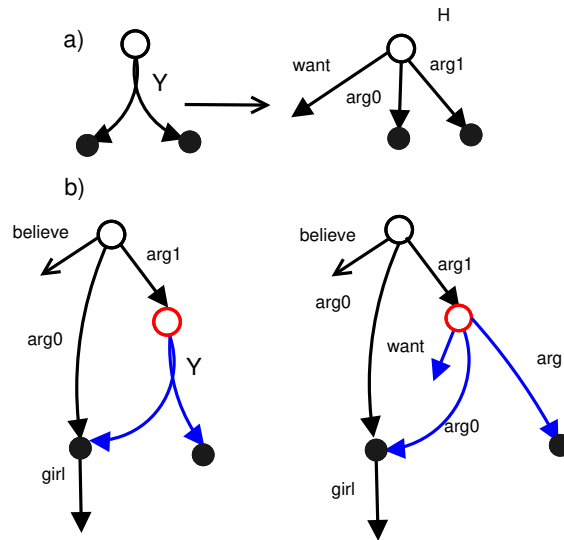


Figura 2.1: a) Hipergrafo  $H$ . b) Reemplazo de hiperarista  $Y$  por  $H$ .  
 (Tomada de [15])

### 2.1.2. Gramáticas de Reemplazo de Hiperaristas

Las  $HRG$  son elementos que pueden ser empleados para la generación y análisis de la representación semántica apoyada en hipergrafos [27]. En la Figura 2.2, inciso a), se ilustra una  $HRG$ .

**Definition 5.** [6] Una **Gramática de Reemplazo de Hiperaristas** ( $HRG$ ) es una tupla  $G = (N, T, S, P)$  donde,

- $N$  es un conjunto finito de símbolos no terminales.
- $T$  es un conjunto finito de símbolos terminales.
- $S \in N$  es un símbolo no terminal inicial.
- $P$  es un conjunto finito de reglas de producción de la forma  $p : A \rightarrow R$ , donde  $A \in N$ , y  $R$  es un hipergrafo cuyas hiperaristas están etiquetadas con símbolos de  $T \cup N$ .

### 2.1.3. Derivación

Sea  $e \in E$  una hiperarista etiquetada con  $A$ , y  $R$  un hipergrafo. El elemento principal de las  $HRG$  es el conjunto finito de reglas de producción. Se dice que éstas controlan el proceso de derivación pues determinan la hiperarista  $e$ , la cual debe ser reemplazada por un

## 2.1. HIPERGRAFOS Y GRAMÁTICAS DE REEMPLAZO DE HIPERARISTAS

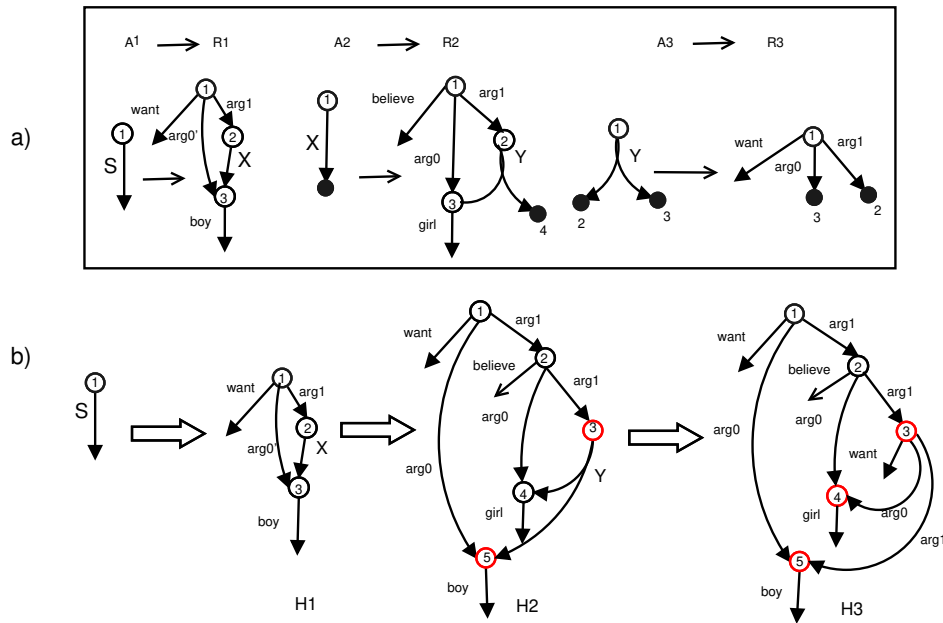


Figura 2.2: a) Reglas de producción para  $G$ . b) Derivación a partir de  $G$  para el hipergrafo  $H_3$  que representa el significado "The boy wants the girl to believe that he wants her". (Tomada de [15])

hipergrafo. Una regla de producción de las  $HRG$  es de la forma  $A \rightarrow R$  para la hiperarista  $e$  que es reemplazada.  $A$  es llamado el lado izquierdo de  $A \rightarrow R$  y  $R$  el lado derecho de  $A \rightarrow R$ . Se tiene la siguiente definición.

**Definition 6.** [6] Sea  $N$  un conjunto de símbolos no terminales. Una **regla de producción** sobre  $N$  es de la forma  $p = A \rightarrow R$ ,  $A \in N$  y  $R$  es un hipergrafo cuyas hiperaristas están etiquetadas por símbolos de  $N \cup T$ .

La definición 6 se tomó de [6]; sin embargo, para el propósito de este trabajo,  $A \in N$  corresponde a la etiqueta de la única hiperarista del hipergrafo del lado izquierdo de una producción.

El proceso de derivación inicia con el símbolo inicial  $S$ . Luego repetidamente se elige un símbolo  $A$  no terminal para ser reemplazado por el hipergrafo  $R$ , a través de alguna regla de producción  $A \rightarrow R$ . A su vez el hipergrafo  $R$  puede tener otras hiperaristas etiquetadas con símbolos no terminales, de tal manera que el proceso de reemplazo continúa hasta que todas las hiperaristas quedan etiquetadas con símbolos terminales [28].

**Definition 7.** [28] Sea  $G$  una  $HRG$  y  $A \rightarrow R$  una regla de producción de  $G$ . La relación  $H' \Rightarrow H''$  ( $H''$  es derivada de  $H'$  en un solo paso) se define de la siguiente forma.  $H'$  debe

tener una hiperarista  $e$  etiquetada con  $A$ . Sean  $v_1, \dots, v_k$  vértices conectados de la hiperarista y  $u_1, \dots, u_k$  los vértices externos de  $R$ . Entonces,  $H''$  es el hipergrafo formado después de haber removido  $e$  de  $H'$ , haciendo una copia isomorfa de  $R$  e identificando  $v_i$  con las copias de  $u_i$  para cada  $i = 1, \dots, k$ . Denotamos mediante  $\xRightarrow{*}$  a la cerradura reflexiva y transitiva de  $\Rightarrow$ .

**Ejemplo 2.1.1.** La Figura 2.2, inciso b) muestra un ejemplo del proceso de derivación a partir de  $G$  para el hipergrafo de entrada  $H$ , el cual representa "The boy wants the girl to believe that he wants her".

Inicialmente se aplica la regla de producción  $A_1 \rightarrow R_1$  para reemplazar el hipergrafo cuya hiperarista está etiquetada con el símbolo inicial  $S$ , por el hipergrafo  $R_1$ . Así es obtenido el hipergrafo  $H_1$ . Posteriormente en  $H_1$ , sobre la base de la regla de producción  $A_2 \rightarrow R_2$ , se reemplaza la hiperarista  $X$  por el hipergrafo  $R_2$ , obteniendo así un nuevo hipergrafo  $H_2$ . Enseguida se realiza una copia isomorfa de  $R_2$ , realizando un mapeo entre los vértices 2, 3 conectados a  $X$  y los vértices externos 2, 3 de  $R_2$ .

Finalmente, en  $H_2$ , sobre la base de la regla de producción  $A_3 \rightarrow R_3$ , se reemplaza la hiperarista  $Y$  por el hipergrafo  $R_3$ , con lo que se obtiene el hipergrafo  $H_3$ . Después se realiza una copia isomorfa de  $R_3$ , haciendo un mapeo entre los vértices 3, 4 y 5 conectados a  $Y$  y los vértices externos 3, 4 y 5 de  $R_3$ .

Se puede decir que en el hipergrafo resultante  $H_3$  todas las hiperaristas están etiquetadas solamente con símbolos terminales. Por lo tanto, se concluye que el hipergrafo de entrada  $H_3$  es derivado a partir del símbolo inicial  $S$  aplicando las reglas de producción de  $G$ .

Una vez presentado el concepto de las  $HRG$ , así como el proceso de derivación, se puede abordar el concepto de lenguaje de hipergrafos. Éste se define como el conjunto de todos los hipergrafos  $H$ , tal que cada uno contiene solamente hiperaristas etiquetadas con símbolos terminales; además, estos hipergrafos pueden ser derivados a partir del símbolo  $S$  aplicando producciones de  $P$  en un número finito de pasos  $S \xRightarrow{*} H$  [29].

**Definition 8.** [23] Sea  $H \in HRG$  el lenguaje de hipergrafos  $L(H)$  generado por  $H$  comprende todos los hipergrafos etiquetados con símbolos terminales, los cuales se pueden derivar de  $S$  aplicando producciones de  $P$ , donde  $S \in \mathcal{H}_C$  es un hipergrafo.

$$L(H) = \{H \in \mathcal{H}_C \mid S \xRightarrow{*} H\}.$$

## 2.2. Parametrización

Cuando hablamos de complejidad parametrizada de un problema, se tiene por objetivo identificar la fuente de dificultad del problema al introducir una medida auxiliar que refleja la dureza de una instancia determinada, es decir, la complejidad no solo se mide por el tamaño de la entrada, sino que también se toma en cuenta algún o algunos parámetros como medida del “punto débil” de la instancia y que además se asume que es pequeño [30] [31] [32].

La complejidad parametrizada tiene como objetivo clasificar problemas intratables dentro de otras “escalas” de tal forma que varios problemas son “díficiles” o intratables cuando su complejidad es medida solo en términos del tamaño de la entrada, pero éstos mismos se vuelven tratables con un parámetro fijo  $k$  “pequeño”, el cual se considera como la medida de dureza de la instancia dada [30] [31] [32].

En la teoría de la complejidad parametrizada el objetivo es comprender en que medida contribuyen dichos parámetros al comportamiento de la complejidad global del problema, es decir en este enfoque se trata de responder la pregunta ¿Qué hace que el problema sea intratable?, de tal forma que se tiene por objetivo diseñar y analizar problemas cuya complejidad pertenece a la clase de problemas de Parámetro Fijo tratable (*FPT*) por sus siglas en inglés [30].

**Definition 9.** [30] Un problema parametrizado es un lenguaje  $L \subseteq \Sigma^* \times \mathbb{N}$ , donde  $\Sigma$  es un alfabeto finito, fijo. Para una instancia  $(x, k) \in \Sigma^* \times \mathbb{N}$ ,  $k$  es llamado el parámetro. Haremos uso de la notación  $\rho$  para hacer énfasis cuando nos referimos a un problema parametrizado.

**Ejemplo 2.2.1.** Por ejemplo [31], en el área de la Verificación Automatizada, supongamos que se tiene el problema de un sistema finito de estados (estructura Kripke), como un circuito que debe cumplir con cierta propiedad, la propiedad es una fórmula  $\phi$  en Lógica Temporal (LTL), y el problema es decidir si una estructura satisface la fórmula  $\phi$ . Este problema es conocido como problema de verificación del modelo LTL. Visto desde el punto de vista de complejidad clásica, este problema es intratable.

En términos de algoritmo parametrizado, este problema se puede plantear de la siguiente manera:

Entrada: Una estructura finita de Kripke  $\mathcal{K} = (V, E, \lambda)$ , y una fórmula-LTL  $\phi$

Parámetro: Un entero positivo  $k$

Pregunta: ¿Decidir si una estructura satisface la fórmula  $\phi$ ?

donde  $k$  es la longitud de la fórmula de entrada  $\phi$  y  $n$  es el tamaño de la estructura de entrada  $\mathcal{K}$ .

El concepto de *FPT* es fundamental dentro de la complejidad parametrizada, y éste permite hacer tratables a los problemas que son intratables, debido a que se puede identificar y fijar alguna restricción, es decir se puede fijar el parámetro en algún valor constante que conduzca a mejorar el comportamiento computacional de los algoritmos que resuelven dichos problemas intratables [30]. Un problema parametrizado es tratable con parámetro fijo si admite un algoritmo que trabaja en tiempo  $f(k)n^{O(1)}$  para alguna función  $f$  calculable, donde  $k$  es el parámetro y  $n$  es la longitud de la entrada. Existen dos vertientes naturales para optimizar el tiempo de ejecución de un algoritmo *FPT* [32]:

1. Se puede optimizar la dependencia del parámetro, es decir, hacer la función  $f$  lo más baja posible.
2. Se puede optimizar el factor polinomial. es decir, hacer la constante  $n$  del exponente tan pequeña como sea posible.

**Definition 10.** [30] Un problema  $L \subseteq \Sigma^* \times \Sigma^*$  es un parámetro fijo tratable si hay un algoritmo que de forma correcta decide, para la entrada  $(x, y) \in \Sigma^* \times \Sigma^*$  ya sea  $(x, y) \in L$  en tiempo  $f(k)n^\alpha$ , donde  $n$  es el tamaño de la parte principal de la entrada  $x$ ,  $\|x\| = n$ ,  $k$  es el parámetro que podemos tomar para que sea de longitud de  $y$ ,  $k = \|y\|$ ,  $\alpha$  es una constante (independiente de  $k$ ), y  $f$  es una función arbitraria.

### 2.2.1. Métricas de parametrización

Existen diferentes métricas de ancho de hipergrafo para resolver problemas de *FPT* tales como, ancho de clique, ancho de banda, ancho de rango, **ancho hiperarbóreo** y ancho de camino [33]. En particular, el ancho hiperarbóreo de un hipergrafo es una de las métricas utilizadas con más frecuencia en algoritmos parametrizados. De manera intuitiva podemos decir, que el ancho hiperarbóreo de un hipergrafo mide que tanto se parece el hipergrafo a un árbol.

Cuando el parámetro ancho hiperarbóreo de un hipergrafo es pequeño, o de manera equivalente el hipergrafo admite una buena técnica de descomposición arbórea, entonces muchos de los problemas de hipergrafos que son intratables en general se vuelven tratables o eficientes [34].



### 2.2.2. Descomposición hiperarborea

Los problemas que se basan en hipergrafos con ancho de hiperárbol acotado pueden ser tratables [35], [36] y [37], siempre y cuando cada propiedad de hipergrafo pueda ser definible en lógica monádica de segundo orden [38].

Un hiperárbol de un hipergrafo  $H = (V, E)$  es una 3-tupla  $\langle T, x, \lambda \rangle$ , donde  $T = (N, F)$  es un árbol enraizado y  $x$  y  $\lambda$  son funciones etiquetadoras que asocian a cada nodo  $p \in N$  con dos conjuntos:  $x(p) \subseteq V$  y  $\lambda(p) \subseteq E$ . Denotan el subárbol enraizado al nodo  $p \in N$  con  $T_p$  y sea  $x(T_p) = \{v \mid v \in x(w), w \in T_p\}$  [39].

**Definition 11.** [39] Un árbol de descomposición de un hipergrafo  $H = (V, E)$  es un hiperárbol  $HD = \langle T, x, \lambda \rangle$ , tal que cumple las siguientes condiciones:

1. Para cada hiperarista  $e \in E$ , hay un nodo  $p \in N$ , tal que  $vertices(e) \subseteq x(p)$ ,
2. Para cada vértice  $v \in V$ , el conjunto  $\{p \in N \mid v \in x(p)\}$  induce un subárbol conectado de  $T$ ,
3. Para cada  $p \in N$ ,  $x(p) \subseteq vertices(\lambda(p))$ ,
4. Para cada  $p \in N$ ,  $vertices(\lambda(p)) \cap x(T_p) \subseteq x(p)$ .

El ancho de un árbol de descomposición hiperarborea  $T$  es  $width(T) = \max_{t \in T} |\lambda(t)| - 1$ . Sea  $\mathcal{T}_H$  la familia de todos los árboles de descomposición de  $H$ , se define el ancho del hipergrafo  $H$  como el  $width(H) = \min_{T \in \mathcal{T}_H} \{width(T)\}$ .

**Ejemplo 2.2.2.** En este ejemplo, la Figura 2.3, inciso a) muestra un hipergrafo  $H$  y el inciso b) de la misma Figura muestra una de sus descomposiciones hiperarborea con ancho hiperarboreo igual a 3.

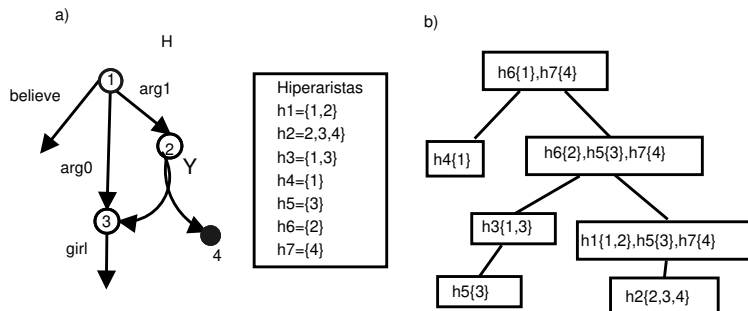


Figura 2.3: a) Hipergrafo  $H$  y b) Descomposición hiperarborea de  $H$ .

# Proceso de Análisis

## 3.1. Analizador

En esta sección se presenta el *Analizador* para resolver el problema de membresía en *HRG*. Aquél lleva a cabo el análisis en la *MA* del hipergrafo de entrada *H*. La *MA* para el hipergrafo de entrada *H*, y para cada hipergrafo *R* de cada una de las reglas de producción de la *HRG*, es creada antes de ejecutar el *Analizador*.

### 3.1.1. Matriz de Adyacencia

En el *Analizador* no se utiliza la definición de Matriz de Adyacencias (*MA*) para grafos, sino una en la cual las etiquetas de las hiperaristas de cada vértice quedan representadas en cada uno de los elemento de la matriz.

La *MA* de un hipergrafo es una matriz cuadrada, donde los vértices de *H* indexan a cada fila de la *MA* bajo un orden arbitrario. Sin embargo, el orden elegido debe ser consistente; es decir, indexar las filas y columnas bajo el mismo orden. Esta consistencia se puede ver representada en la definición 12.

Cuando hablemos de  $M_H$ , entiéndase que nos referimos a la matriz de adyacencias del hipergrafo *H*. Del mismo modo, cuando hablemos de  $M_A$ , entiéndase que nos referimos a la matriz de adyacencia del hipergrafo *R*, donde  $A \rightarrow R$ .

**Definition 12.** Sea *H* un hipergrafo con hiperaristas etiquetadas y dirigidas, y sea *MA* una matriz cuadrada con entradas  $a_{ij}$ , definidas por

$$a_{ij} = \bigcup_{e \in E(H), i \in R_e, j \in D_e} \{lab(e)\}.$$

Para el propósito de esta investigación, conformamos la *MA* con base en la dirección de cada hiperarista dirigida, de tal forma que la primera fila se corresponde con el conjunto

### 3.1. ANALIZADOR

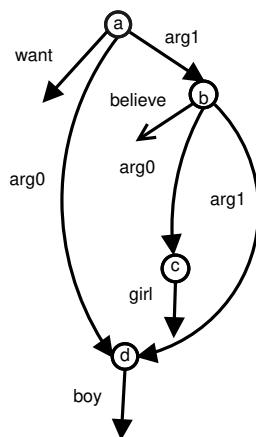


Figura 3.1: Hipergrafo  $H$  para el ejemplo 3.1.1.  
(tomado de [6])

	$a$	$b$	$c$	$d$	$\infty$
$a$	$\{\}$	$\{arg_1\}$	$\{\}$	$\{arg_0\}$	$\{want\}$
$b$	$\{\}$	$\{\}$	$\{arg_0\}$	$\{arg_1\}$	$\{believe\}$
$c$	$\{\}$	$\{\}$	$\{\}$	$\{\}$	$\{girl\}$
$d$	$\{\}$	$\{\}$	$\{\}$	$\{\}$	$\{boy\}$
$\infty$	$\{\}$	$\{\}$	$\{\}$	$\{\}$	$\{\}$

Figura 3.2:  $M_H$  del hipergrafo en la Figura 3.1 para el ejemplo 3.1.1.

formado por el vértice raíz. Enseguida la segunda fila se corresponde con el conjunto formado por el vértice adyacente a las siguientes raíces ubicadas en el hipergrafo. Se procede de arriba hacia abajo y de izquierda a derecha. Se continua así hasta haber representado a todas las hiperaristas del hipergrafo en la  $MA$ .

**Ejemplo 3.1.1.** En las Figuras 3.1 y 3.2, se muestra el hipergrafo de entrada  $H$  con su  $M_H$  formada por cinco filas y cinco columnas. La primera fila tiene 3 conjuntos  $\neq \emptyset$ , los cuales representan las etiquetas de las hiperaristas adyacentes al vértice  $a$ .

Las Figuras 3.4 a 3.9 describen las  $M_R$  para el hipergrafo  $R$  de las reglas  $X_0$ ,  $X_3$ ,  $X_2$  y  $X_1$  de la  $HRG$  que se muestran en la Figura 3.3.

**Ejemplo 3.1.2.** Este ejemplo muestra la estructura para cada una de las  $MA$  de acuerdo a los hipergrafos que se van generando en cada uno de los 3 pasos del proceso de derivación mostrado en la Figura 2.2, inciso b).

1. El proceso inicia desde el simbolo inicial  $S$  y aplica la regla de producción correspondiente a  $S$  mostrada en la Figura 2.2, inciso a) para derivar el hipergrafo  $H_1$  mostrado

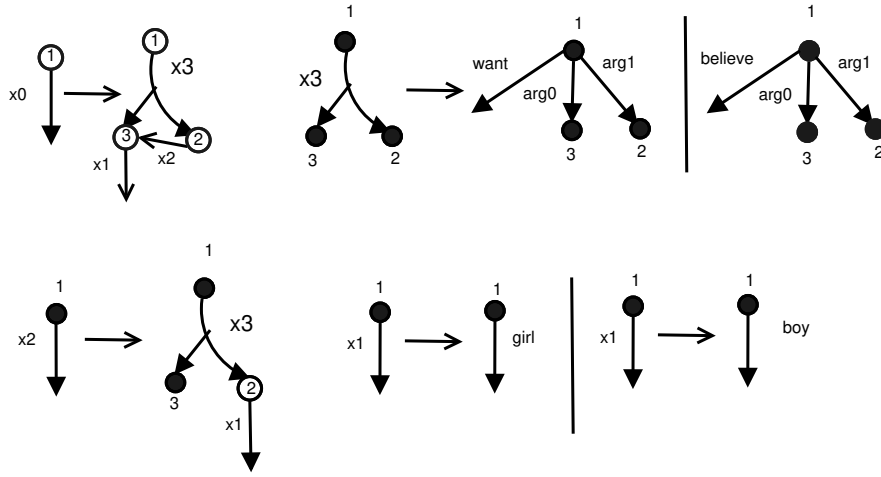


Figura 3.3: *HRG* para el ejemplo 3.1.1.  
(tomadas de [6])

$$\begin{matrix}
 & 1 & 2 & 3 & \infty \\
 \begin{matrix} 1 \\ 2 \\ 3 \\ \infty \end{matrix} & \begin{pmatrix} \{\} & \{X_3\} & \{X_3\} & \{\} \\ \{\} & \{\} & \{X_2\} & \{\} \\ \{\} & \{\} & \{\} & \{X_1\} \\ \{\} & \{\} & \{\} & \{\} \end{pmatrix}
 \end{matrix}$$

Figura 3.4:  $M_{X_0}$  del hipergrafo en la Figura 3.3 para el ejemplo 3.1.1.

$$\begin{matrix}
 & 1 & 2 & 3 & \infty \\
 \begin{matrix} 1 \\ 2 \\ 3 \\ \infty \end{matrix} & \begin{pmatrix} \{\} & \{arg_1\} & \{arg_0\} & \{want\} \\ \{\} & \{\} & \{\} & \{\} \\ \{\} & \{\} & \{\} & \{\} \\ \{\} & \{\} & \{\} & \{\} \end{pmatrix}
 \end{matrix}$$

Figura 3.5:  $M_{X_3}$  del hipergrafo en la Figura 3.3 para el ejemplo 3.1.1.

$$\begin{matrix}
 & 1 & 2 & 3 & \infty \\
 \begin{matrix} 1 \\ 2 \\ 3 \\ \infty \end{matrix} & \begin{pmatrix} \{\} & \{arg_1\} & \{arg_0\} & \{believe\} \\ \{\} & \{\} & \{\} & \{\} \\ \{\} & \{\} & \{\} & \{\} \\ \{\} & \{\} & \{\} & \{\} \end{pmatrix}
 \end{matrix}$$

Figura 3.6:  $M_{X_3}$  del hipergrafo en la Figura 3.3 para el ejemplo 3.1.1.

$$\begin{matrix}
 & 1 & 2 & 3 & \infty \\
 \begin{matrix} 1 \\ 2 \\ 3 \\ \infty \end{matrix} & \begin{pmatrix} \{\} & \{X_3\} & \{X_3\} & \{\} \\ \{\} & \{\} & \{\} & \{X_1\} \\ \{\} & \{\} & \{\} & \{\} \\ \{\} & \{\} & \{\} & \{\} \end{pmatrix}
 \end{matrix}$$

Figura 3.7:  $M_{X_2}$  del hipergrafo en la Figura 3.3 para el ejemplo 3.1.1.

### 3.1. ANALIZADOR

---

$$\begin{array}{c} 1 \quad \infty \\ 1 \quad \left( \begin{array}{cc} \{\} & \{boy\} \\ \{\} & \{\} \end{array} \right) \\ \infty \end{array}$$

Figura 3.8:  $M_{X_1}$  del hipergrafo en la Figura 3.3 para el ejemplo 3.1.1.

$$\begin{array}{c} 1 \quad \infty \\ 1 \quad \left( \begin{array}{cc} \{\} & \{girl\} \\ \{\} & \{\} \end{array} \right) \\ \infty \end{array}$$

Figura 3.9:  $M_{X_1}$  del hipergrafo en la Figura 3.3 para el ejemplo 3.1.1.

en la Figura 3.10. En este caso la estructura de las matrices de adyacencias para  $H_1$  y  $S$  es la misma y se muestran en las Figuras 3.11 y 3.12.

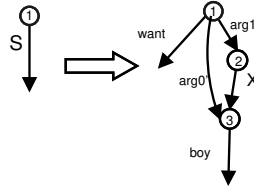


Figura 3.10: Hipergrafo  $H_1$  para el ejemplo 3.1.2.  
(tomado de [6])

$$\begin{array}{c} 1 \quad 2 \quad 3 \quad \infty \\ 1 \quad \left( \begin{array}{cccc} \{\} & \{arg_1\} & \{arg_0\} & \{want\} \\ \{\} & \{\} & \{X\} & \{\} \\ \{\} & \{\} & \{\} & \{boy\} \\ \{\} & \{\} & \{\} & \{\} \end{array} \right) \\ 2 \\ 3 \\ \infty \end{array}$$

Figura 3.11: Matriz  $M_{H_1}$  para el ejemplo 3.1.2.

$$\begin{array}{c} 1 \quad 2 \quad 2 \quad \infty \\ 1 \quad \left( \begin{array}{cccc} \{\} & \{arg_1\} & \{arg_0\} & \{want\} \\ \{\} & \{\} & \{X\} & \{\} \\ \{\} & \{\} & \{\} & \{boy\} \\ \{\} & \{\} & \{\} & \{\} \end{array} \right) \\ 2 \\ 3 \\ \infty \end{array}$$

Figura 3.12:  $M_S$  del hipergrafo en la Figura 3.10 para el ejemplo 3.1.2.

2. Ahora se tiene el hipergrafo  $H_1$  generado en el paso 1, el cual tiene una hiperarista etiquetada con el símbolo  $X$  como se muestra en la Figura 3.10, para el siguiente paso de derivación se aplica la regla de producción correspondiente a  $X$  mostrada en la Figura 2.2, inciso a) para generar el siguiente hipergrafo  $H_2$  mostrado en la Figura

$$\begin{matrix} & 1 & 2 & 3 & 4 & 5 & \infty \\ \begin{matrix} 1 \\ 2 \\ 3 \\ 4 \\ 5 \\ \infty \end{matrix} & \left( \begin{array}{cccccc} \{\} & \{arg_1\} & \{\} & \{\} & \{arg_0\} & \{want\} \\ \{\} & \{\} & \{arg_1\} & \{arg_0\} & \{\} & \{believe\} \\ \{\} & \{\} & \{\} & \{Y\} & \{Y\} & \{\} \\ \{\} & \{\} & \{\} & \{\} & \{\} & \{girl\} \\ \{\} & \{\} & \{\} & \{\} & \{\} & \{boy\} \\ \{\} & \{\} & \{\} & \{\} & \{\} & \{\} \end{array} \right) \end{matrix}$$

Figura 3.13: Matriz  $M_{H_2}$  para el ejemplo 3.1.2.

$$\begin{matrix} & 1 & 2 & 3 & 4 & \infty \\ \begin{matrix} 1 \\ 2 \\ 3 \\ 4 \\ \infty \end{matrix} & \left( \begin{array}{ccccc} \{\} & \{arg_1\} & \{arg_0\} & \{\} & \{believe\} \\ \{\} & \{\} & \{Y\} & \{Y\} & \{\} \\ \{\} & \{\} & \{\} & \{\} & \{girl\} \\ \{\} & \{\} & \{\} & \{\} & \{\} \\ \{\} & \{\} & \{\} & \{\} & \{\} \end{array} \right) \end{matrix}$$

Figura 3.14: Matriz  $M_X$  para el ejemplo 3.1.2.

3.15. En este caso las matrices de adyacencias para  $H_2$  y  $X$  se muestran en las Figuras 3.13 y 3.14.

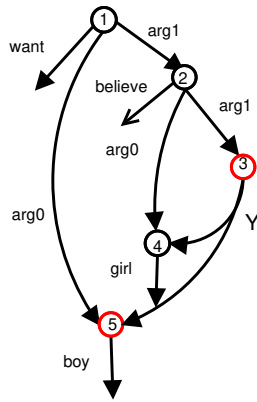


Figura 3.15: Hipergrafo  $H_2$  para el ejemplo 3.1.2.  
(tomado de [6])

- Ahora se tiene el hipergrafo  $H_2$  generado en el paso previo, el cual tiene una hiperarista etiquetada con el simbolo  $Y$  como se muestra en la Figura 3.16, para el siguiente paso de derivación se aplica la regla de producción correspondiente a  $Y$  mostrada en la Figura 2.2, inciso a) para generar el hipergrafo  $H_3$  mostrado en la Figura 3.19.

### 3.1. ANALIZADOR

---

$$\begin{matrix} & 1 & 2 & 3 & 4 & 5 & \infty \\ \begin{matrix} 1 \\ 2 \\ 3 \\ 4 \\ 5 \\ \infty \end{matrix} & \begin{pmatrix} \{\} & \{arg_1\} & \{\} & \{\} & \{arg_0\} & \{want\} \\ \{\} & \{\} & \{arg_1\} & \{arg_0\} & \{\} & \{believe\} \\ \{\} & \{\} & \{\} & \{Y\} & \{Y\} & \{\} \\ \{\} & \{\} & \{\} & \{\} & \{\} & \{girl\} \\ \{\} & \{\} & \{\} & \{\} & \{\} & \{boy\} \\ \{\} & \{\} & \{\} & \{\} & \{\} & \{\} \end{pmatrix} \end{matrix}$$

Figura 3.17: Matriz  $M_{H_3}$  para el ejemplo 3.1.2.

$$\begin{matrix} & 1 & 2 & 3 & \infty \\ \begin{matrix} 1 \\ 2 \\ 3 \\ \infty \end{matrix} & \begin{pmatrix} \{\} & \{arg_1\} & \{arg_0\} & \{want\} \\ \{\} & \{\} & \{\} & \{\} \\ \{\} & \{\} & \{\} & \{\} \\ \{\} & \{\} & \{\} & \{\} \end{pmatrix} \end{matrix}$$

Figura 3.18: Matriz  $M_Y$  para el ejemplo 3.1.2.

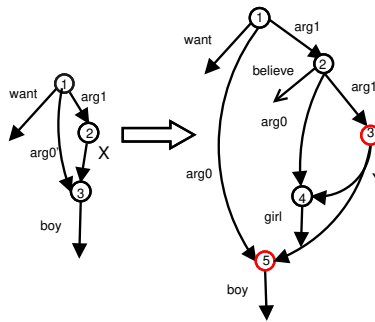


Figura 3.16: Hipergrafo  $H_2$  para el ejemplo 3.1.2.  
(tomado de [6])

En este caso las matrices de adyacencias para  $H_3$  y  $Y$  se muestran en las Figuras 3.17 y 3.18.

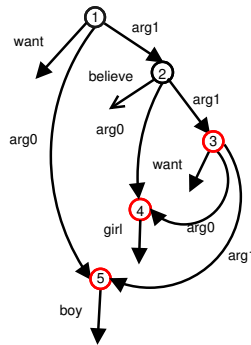


Figura 3.19: Hipergrafo  $H_3$  para el ejemplo 3.1.2.  
(tomado de [6])

### 3.2. Algoritmo *Analizador*

El *Analizador* recibe como entradas a la  $M_H$  de  $H$ , al conjunto de las  $M_A$  de los hipergrafos  $R$  para cada una de las reglas de producción de la  $HRG$ , y a la  $M_S$  de  $R$  para la regla inicial  $S \rightarrow R$ .

El *Analizador* no utiliza los vértices externos debido a que éstos se requieren solamente durante el proceso de derivación.

Cuando hablamos de empatar dos filas, entiéndase que nos referimos a que los conjuntos de ambas filas se intersectan; esto significa que las etiquetas de las hiperaristas del hipergrafo representado por éstas, son las mismas que las del hipergrafo  $R$  de la regla.

Los algoritmos *Analizador* y *Empata* van creando una copia de las filas de  $M_H$  y de la  $M_R$  del hipergrafo  $R$  conforme se va realizando el análisis. Esto ocurre así porque durante el proceso de análisis los conjuntos que se intersectaron podrían ser  $\emptyset$ ; y en caso de que las filas no empaten entre sí, se tiene que buscar una nueva regla, por lo que es necesario recuperar los conjuntos de ambas filas.

El algoritmo *Analizador* consta de tres iteraciones anidadas.

1. La iteración más externa (líneas 2 a 24) toma cada fila  $f_{H_i}$  de la matriz de adyacencias  $M_H$  del hipergrafo de entrada  $H$ .
2. <sup>1</sup> La iteración intermedia (líneas 2 a 37) toma cada matriz de adyacencias  $M_{R_j}$  de  $R$  para la regla de producción, cuyas etiquetas se han almacenado en la pila.
3. <sup>2</sup> La iteración más interna (líneas 2 a 32) toma cada fila  $f_{R_k}$  de la matriz de adyacencias  $M_{R_j}$  para ver si empatan con la fila  $f_{H_i}$ ; aquí tenemos tres casos:
  - a)  $f_{R_k}$  y  $f_{H_i}$  empatan (líneas 5 a 16 y 26 a 28); entonces, *Analizador* continua con el ciclo más externo.
  - b)  $f_{R_k}$  y  $f_{H_i}$  no empatan (líneas 5 a 16 y 18 a 20) y  $f_{R_k}$  no contiene variables; entonces, continua con el ciclo más interno.
  - c)  $f_{R_k}$  y  $f_{H_i}$  no empatan (líneas 5 a 16 y 21 a 24) y  $f_{R_k}$  contiene las variables  $V_1, \dots, V_m$ ; entonces, para cada  $V_l, 1 \leq l \leq m$  continua con el ciclo intermedio.

<sup>1</sup>Esta iteración corresponde al algoritmo *Procesa*

<sup>2</sup>Esta iteración corresponde al algoritmo *Empata*



### 3.2. ALGORITMO ANALIZADOR

---

El algoritmo *Procesa* utiliza una pila para ir almacenando las etiquetas de todas las variables encontradas en cada fila  $f_R$  de la matriz  $M_R$  que está siendo utilizada para el análisis. Esta información se requiere ya que, cuando las filas de dicha matriz no empataron con la fila de  $M_H$  que está siendo procesada entonces, *Procesa* debe recuperar la información de la pila para regresar a la variable que le permita seguir avanzando en el análisis, para ello toma la  $MA$  de la regla, cuya etiqueta es igual que la de la variable recuperada de la pila.

---

**Algorithm 1** *Analizador*( $M_H, C_R, A$ )

---

```
1: Salida:  $\{true, false\}$ 
2:  $q \leftarrow 1$ 
3:  $M_R \leftarrow A$ 
4:  $push(P_{Var}[tope], A)$ 
5: Mientras  $(q - 1) < |M_H|$ 
6:    $f_H \leftarrow next(f_H, M_H)$ 
7:    $f_{AH} \leftarrow f_H$ 
8:    $empatafH \leftarrow false$ 
9:    $res \leftarrow Empata(f_{AH}, M_R)$ 
10:   $R \rightarrow Procesa(f_H, C_R, P_{Var}, res, M_R)$ 
11:  si  $R = V_f$ 
12:     $empatafH \leftarrow true$ 
13:     $proc[q] \leftarrow f_H$ 
14:     $q \leftarrow q + 1$ 
15:    ir a 5
16:  si  $R = V_m$ 
17:    ir a 7
18:  si  $R = V_n$ 
19:     $empatafH \leftarrow false$ 
20:    rompeCiclo
21:  en otro caso
22:    ir a 9
23:  continua
24: regresa  $empatafH$ 
```

---

**Ejemplo 3.2.1.** El funcionamiento del Algoritmo 1 se muestra para la matriz  $M_H$  de la Figura 3.2, para las  $M_{R_j}$  de las reglas de producción de la *HRG*, las cuales se muestran en las Figuras 3.4 a 3.9.

En la iteración más externa el *Analizador* **toma la fila**  $a$  de la matriz  $M_H$  y enseguida la matriz de adyacencias, la correspondiente a la regla del símbolo inicial  $M_{X_0}$  del hipergrafo  $R$  de la regla  $X_0$ . A continuación en la línea 9, llama al algoritmo  $Empata(a, M_{X_0})$  con el

**Algorithm 2** *Procesa*( $f_{AH}, C_R, P_{Var}, res, M_R$ )

---

```

1: Salida:  $\{V_m, V_f, V_n\}$ 
2:  $fin \leftarrow true$   $resp \leftarrow V_R$ 
3: Mientras  $\neg vacia(P_{Var})$ 
4: switch
5:   case  $res = V_e$ :
6:      $pop(P_{Var}[tope])$ 
7:     Para cada conjunto  $x$  de  $f_{AH}$ 
8:       si  $x \neq \emptyset$   $fin \leftarrow false$ 
9:       rompeCiclo
10:    si  $fin$  and  $P_{Var}[tope] = res_{-d}$ 
11:      Mientras  $P_{Var}[tope] \neq res_{-i}$ 
12:         $pop(P_{Var}[tope])$ 
13:         $resp \leftarrow V_m$  ir a 37
14:      continua
15:       $resp \leftarrow V_f$ 
16:       $M_R \leftarrow BuscaMA(C_R, P_{Var}[tope])$ 
17:       $pop(P_{Var}[tope])$ 
18:       $push(P_{Var}, P_{Var}[tope]_{-i})$ 
19:    case  $res = V_{-d}$  and  $res \neq P_{Var}[tope]$ 
20:       $push(P_{Var}, res)$ 
21:    case  $res = V_p$ 
22:       $M_R \leftarrow BuscaMA(C_R, P_{Var}[tope])$ 
23:      si  $P_{Var}[tope] \neq P_{Var}[tope]_{-i}$ 
24:         $pop(P_{Var}[tope])$ 
25:         $push(P_{Var}[tope]_{-i})$ 
26:      ir a 37
27:    case  $res = V_n$ 
28:      Mientras( $eti(M_R) \neq P_{Var}[tope]$  or  $C_R \neq \emptyset$ )
29:         $M_R \leftarrow next(M_R, C_R)$ 
30:        si ( $eti(M_R) = P_{Var}[tope]$ )
31:           $M_R \leftarrow BuscaMA(C_R, P_{Var}[tope])$ 
32:        ir a 37
33:      en otro caso
34:         $resp \leftarrow V_n$ 
35:        ir a 37
36:      continua
37: regresa  $resp$ 

```

---

### 3.2. ALGORITMO ANALIZADOR

---

---

**Algorithm 3**  $Empata(f_{AH}, M_R)$ 

---

```
1: Salida:  $\{V_e, V_n, V_i, V_d, V_p\}$ 
2: Mientras( $M_R \neq \emptyset$ )
3:    $f_R \leftarrow next(f_R, M_R)$   $f_{AR} \leftarrow f_R$ 
4:    $empataf = V_n$ 
5:   Para cada conjunto  $x \neq \emptyset$  de  $f_{AH}$ 
6:      $i \leftarrow false$ 
7:     Para cada conjunto  $y \neq \emptyset$  de  $f_{AR}$ 
8:       si  $(x \cap y) \neq \emptyset$ 
9:          $x \leftarrow x - (x \cap y)$ 
10:         $y \leftarrow y - (x \cap y)$ 
11:         $i \leftarrow true$ 
12:        rompeCiclo
13:     continua
14:     si  $\neg i$ 
15:       rompeCiclo
16:     continua
17:     Para cada  $y \neq \emptyset$  de  $f_{AR}$ 
18:       Sea  $V \in y$ 
19:       si  $V \in T$ 
20:         ir a 3
21:       en otro caso
22:          $empataf \leftarrow V_d$ 
23:          $y \leftarrow y - \{V\}$ 
24:         rompeCiclo ir a 32
25:     continua
26:     si  $i$ 
27:        $empataf \leftarrow V_e$ 
28:       rompeCiclo
29:     en otro caso
30:        $empataf \leftarrow V_p$ 
31:     continua
32:   regresa  $empataf$ 
```

---

---

**Algorithm 4**  $BuscaMA(CR, PVar[tope])$ 

---

```
1: Salida:  $\{\emptyset, M_A\}$ 
2:  $M_{AR} \leftarrow 0$ 
3:   Para cada  $M'_R$  de  $C_R$ 
4:     si  $etiq(M'_R) = PVar[tope]$ 
5:        $M_{AR} \leftarrow M'_R$ 
6:   regresa  $(M_{AR})$ 
```

---

$$\begin{array}{c}
 \begin{array}{ccccc}
 & a & b & c & d & \infty \\
 \mathbf{f}_{\mathbf{A}_H} = a & \left( \begin{array}{ccccc}
 \{\} & \{arg_1\} & \{\} & \{arg_0\} & \{want\} \\
 1 & 2 & 3 & \infty & \\
 \end{array} \right) \\
 \mathbf{f}_{\mathbf{A}_R} = 1 & \left( \begin{array}{ccccc}
 \{\} & \{arg_1\} & \{arg_0\} & \{want\} & \\
 & a & b & c & d & \infty \\
 & \{\} & \{\} & \{\} & \{\} & \{\} \\
 & 1 & 2 & 3 & \infty & \\
 \end{array} \right) \\
 \mathbf{f}_{\mathbf{A}_H} = a & \left( \begin{array}{ccccc}
 \{\} & \{\} & \{\} & \{\} & \{\} \\
 & 1 & 2 & 3 & \infty & \\
 \end{array} \right) \\
 \mathbf{f}_{\mathbf{A}_R} = 1 & \left( \begin{array}{ccccc}
 \{\} & \{\} & \{\} & \{\} & \\
 & a & b & c & d & \infty \\
 & \{\} & \{\} & \{\} & \{\} & \{\} \\
 & 1 & 2 & 3 & \infty & \\
 \end{array} \right)
 \end{array}
 \end{array}$$

Figura 3.20: Empatando fila  $a$  de la matriz  $M_H$  con fila 1 de  $M_{X_3}$ .

propósito de que en la iteración más interna verifique si la fila 1 de la  $M_{X_0}$  empata con la fila  $a$  de  $M_H$ .

Así que el algoritmo  $Empata(a, M_{X_0})$ , en las líneas 21 a 26, regresa la variable  $X_3$  contenida en la fila 1. En la iteración intermedia el algoritmo  $Procesa(a, C_R, P_{Var}, X_3, M_{X_0})$ , en las líneas 19 a 20 empila la variable  $X_3$  en la pila  $P_{Var}$ . Enseguida, en la iteración más interna en las líneas 4 y 32 el algoritmo  $Empata(a, M_{X_0})$  regresa  $V_p$ ; ya que todos los conjuntos de la fila 1 de  $M_{X_0}$  están vacíos; es decir, que ya no hay más variables para empilar. Es entonces que el algoritmo  $Procesa(a, C_R, P_{Var}, V_p, M_{X_3})$  en la iteración intermedia en las líneas 21 a 26, toma la matriz  $M_{X_3}$ .

Posteriormente el algoritmo  $Empata(a, M_{X_3})$  en la iteración más interna toma la fila 1 de la matriz de adyacencias  $M_{X_3}$ . Después en la iteración que inicia en la fila 5 a 16 toma los conjuntos  $\{arg_1\}$ ,  $\{arg_0\}$  y  $\{want\}$  de la fila  $a$  y valida que se intersecten con  $\{arg_1\}$ ,  $\{arg_0\}$  y  $\{want\}$  de la fila 1. Simultáneamente a cada conjunto de ambas filas les va restando la intersección de las dos, como se muestra en la Figura 3.20.

Luego, en la iteración intermedia el algoritmo  $Procesa(a, C_R, P_{Var}, V_e, M_{X_3})$  en las líneas 5 a 6 y 16 a 18 desempila a  $X_3$  para tomar el siguiente elemento en la pila; es decir,  $X_0$ . Enseguida, el algoritmo  $Analizador(M_H, C_R, S)$ , en las líneas 13 a 17 marca la fila  $a$  como procesada.

Nuevamente, en la iteración más externa el **Analizador toma la fila  $b$**  de la matriz  $M_H$  y enseguida la matriz de adyacencias, la correspondiente a la regla del símbolo inicial  $M_{X_0}$  del hipergrafo  $R$  de la regla  $X_0$ . A continuación en la línea 9, llama al algoritmo  $Empata(b, M_{X_0})$  con el propósito de que en la iteración más interna verifique si la fila 2 de la  $M_{X_0}$  empata con la fila  $b$  de  $M_H$ .

### 3.2. ALGORITMO ANALIZADOR

---

Así que el algoritmo  $Empata(b, M_{X_0})$ , en las líneas 21 a 26, regresa la variable  $X_2$  contenida en la fila 2. En la iteración intermedia el algoritmo  $Procesa(b, C_R, P_{Var}, X_2, M_{X_0})$ , en las líneas 19 a 20 empila la variable  $X_2$  en la pila  $P_{Var}$ . Enseguida, en la iteración más interna en las líneas 4 y 32 el algoritmo  $Empata(b, M_{X_0})$  regresa  $V_p$ ; ya que todos los conjuntos de la fila 2 de  $M_{X_0}$  están vacíos; es decir, que ya no hay más variables para empilar. Es entonces que el algoritmo  $Procesa(b, C_R, P_{Var}, V_p, M_{X_2})$  en la iteración intermedia en las líneas 21 a 26, toma la matriz  $M_{X_2}$ .

A continuación en la línea 9, llama al algoritmo  $Empata(b, M_{X_0})$  con el propósito de que en la iteración más interna verifique si la fila 1 de la  $M_{X_2}$  empata con la fila  $b$  de  $M_H$ .

Así que el algoritmo  $Empata(b, M_{X_2})$ , en las líneas 21 a 26, regresa la variable  $X_3$  contenida en la fila 1. En la iteración intermedia el algoritmo  $Procesa(b, C_R, P_{Var}, X_3, M_{X_2})$ , en las líneas 19 a 20 empila la variable  $X_3$  en la pila  $P_{Var}$ . Enseguida, en la iteración más interna en las líneas 4 y 32 el algoritmo  $Empata(b, M_{X_2})$  regresa  $V_p$ ; ya que todos los conjuntos de la fila 1 de  $M_{X_2}$  están vacíos; es decir, que ya no hay más variables para empilar. Es entonces que el algoritmo  $Procesa(b, C_R, P_{Var}, V_p, M_{X_2})$  en la iteración intermedia en las líneas 21 a 26, toma la matriz  $M_{X_2}$ .

Posteriormente el algoritmo  $Empata(b, M_{X_2})$  en la iteración más interna toma la fila 1 de la matriz de adyacencias  $M_{X_2}$ . Posteriormente el algoritmo  $Empata(b, M_{X_3})$  en la iteración más interna toma la fila 1 de la matriz de adyacencias  $M_{X_3}$ . Después en la iteración que inicia en la fila 5 a 16 toma los conjuntos  $\{arg_1\}$ ,  $\{arg_0\}$  y  $\{believe\}$  de la fila  $b$  y valida que no se intersecten con  $\{arg_1\}$ ,  $\{arg_0\}$  y  $\{want\}$  de la fila 1. Simultáneamente a cada conjunto de ambas filas les va restando la intersección de las dos, como se muestra en la Figura 3.21.

$$\begin{array}{c}
 \begin{array}{ccccc}
 & a & b & c & d & \infty \\
 \mathbf{f}_{A_H} = b & ( \{ \} & \{ \} & \{arg_0\} & \{arg_1\} & \{believe\} )
 \end{array} \\
 \begin{array}{ccccc}
 & & 1 & 2 & 3 & \infty \\
 \mathbf{f}_{A_R} = 1 & ( \{ \} & \{arg_1\} & \{arg_0\} & \{want\} )
 \end{array} \\
 \begin{array}{ccccc}
 & a & b & c & d & \infty \\
 \mathbf{f}_{A_H} = b & ( \{ \} & \{ \} & \{ \} & \{ \} & \{believe\} )
 \end{array} \\
 \begin{array}{ccccc}
 & & 1 & 2 & 3 & \infty \\
 \mathbf{f}_{A_R} = 1 & ( \{ \} & \{ \} & \{ \} & \{want\} )
 \end{array}
 \end{array}$$

Figura 3.21: No empata fila  $b$  de la matriz  $M_H$  con fila 1 de  $M_{X_3}$ .

Después en el ciclo más interno  $Empata$  en las líneas 4 y 32 regresa  $V_n$  para que en la

$$\begin{array}{c}
 \begin{array}{ccccc}
 & a & b & c & d & \infty \\
 \mathbf{f}_{\mathbf{A}_H} = b & (\{\} & \{\} & \{arg_0\} & \{arg_1\} & \{believe\}) \\
 & 1 & 2 & 3 & \infty \\
 \mathbf{f}_{\mathbf{A}_R} = 1 & (\{\} & \{arg_1\} & \{arg_0\} & \{believe\})
 \end{array} \\
 \\
 \begin{array}{ccccc}
 & a & b & c & d & \infty \\
 \mathbf{f}_{\mathbf{A}_H} = b & (\{\} & \{\} & \{\} & \{\} & \{\}) \\
 & 1 & 2 & 3 & \infty \\
 \mathbf{f}_{\mathbf{A}_R} = 1 & (\{\} & \{\} & \{\} & \{\})
 \end{array}
 \end{array}$$

Figura 3.22: Empatando fila  $b$  de la matriz  $M_H$  con fila 1 de  $M_{X_3}$ .

iteración intermedia, *Procesa* en las líneas 27 a 32 toma otra opción para  $M_{X_3}$ , así que en la iteración que inicia en la fila 5 a 16 toma los conjuntos  $\{arg_1\}$ ,  $\{arg_0\}$  y  $\{believe\}$  de la fila  $b$  y valida que se intersecten con  $\{arg_1\}$ ,  $\{arg_0\}$  y  $\{believe\}$  de la fila 1. Simultáneamente a cada conjunto de ambas filas les va restando la intersección de las dos, como se muestra en la Figura 3.22.

Luego, en la iteración intermedia el algoritmo *Procesab*,  $(C_R, P_{Var}, V_e, M_{X_3})$  en las líneas 5 a 6 y 16 a 18 desempila a  $X_3$  para tomar el siguiente elemento en la pila; es decir,  $X_2$ . Enseguida, el algoritmo *Analizador*( $M_H, C_R, S$ ), en las líneas 13 a 17 marca la fila  $b$  como procesada.

Nuevamente, en la iteración más externa el *Analizador* **toma la fila  $c$**  de la matriz  $M_H$  y a continuación en la línea 9, llama al algoritmo *Empata*( $c, M_{X_2}$ ) con el propósito de que en la iteración más interna verifique si la fila 2 de la  $M_{X_2}$  empata con la fila  $c$  de  $M_H$ .

Así que el algoritmo *Empata*( $c, M_{X_2}$ ), en las líneas 21 a 26, regresa la variable  $X_1$  contenida en la fila 2. En la iteración intermedia el algoritmo *Procesa*( $c, C_R, P_{Var}, X_1, M_{X_2}$ ), en las líneas 19 a 20 empila la variable  $X_1$  en la pila  $P_{Var}$ . Enseguida, en la iteración más interna en las líneas 4 y 32 el algoritmo *Empata*( $c, M_{X_2}$ ) regresa  $V_p$ ; ya que todos los conjuntos de la fila 2 de  $M_{X_2}$  están vacíos; es decir, que ya no hay más variables para empilar. Es entonces que el algoritmo *Procesa*( $c, C_R, P_{Var}, V_p, M_{X_2}$ ) en la iteración intermedia en las líneas 21 a 26, toma la matriz  $M_{X_1}$ .

Posteriormente el algoritmo *Empata*( $c, M_{X_1}$ ) en la iteración más interna toma la fila 1 de la matriz de adyacencias  $M_{X_1}$ . Posteriormente el algoritmo *Empata*( $c, M_{X_1}$ ) en la iteración más interna toma la fila 1 de la matriz de adyacencias  $M_{X_1}$ . Después en la iteración que inicia en la fila 5 a 16 toma los conjuntos  $\{\}$ ,  $\{\}$  y  $\{girl\}$  de la fila  $c$  y valida que no se

### 3.2. ALGORITMO ANALIZADOR

---

$$\begin{array}{c}
 \begin{array}{ccccc}
 & a & b & c & d & \infty \\
 \mathbf{f_{A_H}} = c & (\{\} & \{\} & \{\} & \{\} & \{girl\}) \\
 & 1 & 2 & 3 & \infty \\
 \mathbf{f_{A_R}} = 1 & (\{\} & \{\} & \{\} & \{boy\})
 \end{array} \\
 \\
 \begin{array}{ccccc}
 & a & b & c & d & \infty \\
 \mathbf{f_{A_H}} = c & (\{\} & \{\} & \{\} & \{\} & \{girl\}) \\
 & 1 & 2 & 3 & \infty \\
 \mathbf{f_{A_R}} = 1 & (\{\} & \{\} & \{\} & \{boy\})
 \end{array}
 \end{array}$$

Figura 3.23: No empata fila  $c$  de la matriz  $M_H$  con fila 1 de  $M_{X_1}$ .

$$\begin{array}{c}
 \begin{array}{ccccc}
 & a & b & c & d & \infty \\
 \mathbf{f_{A_H}} = c & (\{\} & \{\} & \{\} & \{\} & \{boy\}) \\
 & 1 & 2 & 3 & \infty \\
 \mathbf{f_{A_R}} = 1 & (\{\} & \{\} & \{\} & \{boy\})
 \end{array} \\
 \\
 \begin{array}{ccccc}
 & a & b & c & d & \infty \\
 \mathbf{f_{A_H}} = c & (\{\} & \{\} & \{\} & \{\} & \{\}) \\
 & 1 & 2 & 3 & \infty \\
 \mathbf{f_{A_R}} = 1 & (\{\} & \{\} & \{\} & \{\})
 \end{array}
 \end{array}$$

Figura 3.24: Empatando la fila  $c$  de la matriz  $M_H$  con la fila 1 de  $M_{X_1}$ .

intersecten con  $\{\}$ ,  $\{\}$  y  $\{boy\}$  de la fila 1. Simultáneamente a cada conjunto de ambas filas les va restando la intersección de las dos, como se muestra en la Figura 3.23.

Después en el ciclo más interno *Empata* en las líneas 4 y 32 regresa  $V_n$  para que en la iteración intermedia, *Procesa* en las líneas 27 a 32 toma otra opción para  $M_{X_1}$ , así que en la iteración que inicia en la fila 5 a 16 toma los conjuntos  $\{\}$ ,  $\{\}$  y  $\{girl\}$  de la fila  $c$  y valida que se intersecten con  $\{\}$ ,  $\{\}$  y  $\{girl\}$  de la fila 1. Simultáneamente a cada conjunto de ambas filas les va restando la intersección de las dos, como se muestra en la Figura 3.24.

Luego, en la iteración intermedia el algoritmo *Procesa*( $c, C_R, P_{Var}, V_e, M_{X_1}$ ) en las líneas 5 a 6 y 16 a 18 desempila a  $X_1$  para tomar el siguiente elemento en la pila; es decir,  $X_0$ . Enseguida, el algoritmo *Analizador*( $M_H, C_R, S$ ), en las líneas 13 a 17 marca la fila  $c$  como procesada.

A continuación en la línea 9, llama al algoritmo *Empata*( $d, M_{X_0}$ ) con el propósito de que en la iteración más interna verifique si la fila 3 de la  $M_{X_0}$  **con la fila  $d$**  de  $M_H$ .

Así que el algoritmo *Empata*( $d, M_{X_0}$ ), en las líneas 21 a 26, regresa la variable  $X_1$  contenida

$$\begin{array}{c}
 \begin{array}{ccccc}
 & a & b & c & d & \infty \\
 \mathbf{f}_{\mathbf{A}_H} = d & (\{\} & \{\} & \{\} & \{\} & \{\text{boy}\})
 \end{array} \\
 \begin{array}{ccccc}
 & 1 & 2 & 3 & \infty \\
 \mathbf{f}_{\mathbf{A}_R} = 1 & (\{\} & \{\} & \{\} & \{\text{boy}\})
 \end{array} \\
 \begin{array}{ccccc}
 & a & b & c & d & \infty \\
 \mathbf{f}_{\mathbf{A}_H} = d & (\{\} & \{\} & \{\} & \{\} & \{\text{boy}\})
 \end{array} \\
 \begin{array}{ccccc}
 & 1 & 2 & 3 & \infty \\
 \mathbf{f}_{\mathbf{A}_R} = 1 & (\{\} & \{\} & \{\} & \{\text{boy}\})
 \end{array}
 \end{array}$$

Figura 3.25: No empata fila  $d$  de la matriz  $M_H$  con fila 1 de  $M_{X_1}$ .

en la fila 3. En la iteración intermedia el algoritmo  $Procesa(d, C_R, P_{Var}, X_1, M_{X_0})$ , en las líneas 19 a 20 empilar la variable  $X_1$  en la pila  $P_{Var}$ . Enseguida, en la iteración más interna en las líneas 4 y 32 el algoritmo  $Empata(d, M_{X_0})$  regresa  $V_p$ ; ya que todos los conjuntos de la fila 3 de  $M_{X_0}$  están vacíos; es decir, que ya no hay más variables para empilar. Es entonces que el algoritmo  $Procesa(d, C_R, P_{Var}, V_p, M_{X_0})$  en la iteración intermedia en las líneas 21 a 26, toma la matriz  $M_{X_1}$ .

Posteriormente el algoritmo  $Empata(d, M_{X_1})$  en la iteración más interna toma la fila 1 de la matriz de adyacencias  $M_{X_1}$ . Posteriormente el algoritmo  $Empata(d, M_{X_1})$  en la iteración más interna toma la fila 1 de la matriz de adyacencias  $M_{X_1}$ . Después en la iteración que inicia en la fila 5 a 16 toma los conjuntos  $\{\}$ ,  $\{\}$  y  $\{\text{boy}\}$  de la fila  $d$  y valida que se intersecten con  $\{\}$ ,  $\{\}$  y  $\{\text{boy}\}$  de la fila 1. Simultáneamente a cada conjunto de ambas filas les va restando la intersección de las dos, como se muestra en la Figura 3.25.

Enseguida, el algoritmo  $Analizador(M_H, C_R, S)$ , en las líneas 13 a 17 marca la fila  $d$  como procesada y como ya no hay más filas que procesar en  $M_H$ , entonces devuelve true para denotar que  $H$  sí es generado por la  $HRG$ .

### 3.2.1. Demostración de la corrección del *Analizador*

Demostraremos que el algoritmo *Analizador* es correcto, pero primero se demuestra una proposición más general.

**Proposición 3.2.1.** Sean  $H_I \in \mathcal{H}_C$  y  $HRG$  una gramática de reemplazo de hiperaristas; entonces  $H_I \in L_A(HRG)$  si y sólo si  $Analizador(M_{H_I}, C_R, A)$ .

$H \in L_A(HRG)$ : Se realiza una demostración por inducción sobre el número  $k$  de pasos para



### 3.2. ALGORITMO ANALIZADOR

---

hacer una derivación.

$k = 1 : A \Rightarrow H_I$ . En este caso se tiene el hipergrafo  $H_I$  de entrada y se reconoce en un solo paso, en cuyo caso el algoritmo *Analizador*( $M_{H_I}, C_R, A$ ) realizaría lo siguiente: tomaría las matrices de adyacencias  $M_{H_I}$  del hipergrafo de entrada  $H_I$  y  $M_A$  del hipergrafo  $R$  de la regla de producción  $A \rightarrow R$ , las cuales tienen la siguiente forma.

$$\begin{array}{c} n_1 \quad n_2 \quad \cdots \quad n_{m-1} \quad \infty \\ n_1 \quad \left( \begin{array}{ccccc} h_{11} & h_{12} & \cdots & h_{1m-1} & h_{1m} \\ h_{21} & h_{22} & \cdots & h_{2m-1} & h_{2m} \\ \vdots & \vdots & \cdots & \vdots & \vdots \\ h_{m-11} & h_{m-12} & \cdots & h_{m-1m-1} & h_{m-1m} \\ \{ \} & \{ \} & \cdots & \{ \} & \{ \} \end{array} \right) \\ n_2 \\ \vdots \\ n_{m-1} \\ \infty \end{array}$$

Figura 3.26: Matriz  $M_{H_I}$  para la demostración.

$$\begin{array}{c} n'_1 \quad n'_2 \quad \cdots \quad n'_{m-1} \quad \infty \\ n'_1 \quad \left( \begin{array}{ccccc} a_{11} & a_{12} & \cdots & a_{1m-1} & a_{1m} \\ a_{21} & a_{22} & \cdots & a_{2m-1} & a_{2m} \\ \vdots & \vdots & \cdots & \vdots & \vdots \\ a_{m-11} & a_{m-12} & \cdots & a_{m-1m-1} & a_{m-1m} \\ \{ \} & \{ \} & \cdots & \{ \} & \{ \} \end{array} \right) \\ n'_2 \\ \vdots \\ n'_{m-1} \\ \infty \end{array}$$

Figura 3.27: Matriz  $M_A$  para la demostración.

Al comparar estas dos matrices, se podrían dar los siguientes dos casos:

**caso a)** Ambas matrices se empatan en todas sus filas, pues de acuerdo a la iteración más externa en las líneas 2 a 24, el *Analizador* tomaría cada una de las filas de  $M_{H_I}$  para que en la iteración más interna *Empata* tome cada fila de  $M_A$  y en las líneas 5 a 16 y 26 a 28: verificaría que ambas filas se empatan pues los conjuntos  $h_{ij} = a_{ij}$ , donde  $i = 1, \dots, m - 1$  y  $j = 1, \dots, m$ . A continuación, en la iteración intermedia en las líneas 5, 6, 15 y 37: *Procesa* regresa  $V_f$  para que el *Analizador* en las líneas 11 a 15 elimine cada fila empatada de  $M_{H_I}$  y regrese el valor *true*.

El algoritmo *Procesa* utiliza una pila porque las *HRG* en las que se basa el análisis pueden ser recursivas, de tal forma que se requiere guardar las etiquetas de las variables correspondientes, las cuales determinan el orden en que estas serán utilizadas durante el análisis.

En la iteración intermedia, en las líneas 19 a 20, *Procesa* empuja la etiqueta de la variable encontrada en la fila de  $M_{H_I}$ , posteriormente esta etiqueta puede ser desempilada porque se cumple el caso de las líneas 5 a 18, es decir que la fila de  $M_{H_I}$  fue empatada con alguna de las filas de la  $MA$  para la regla que está siendo utilizada. Así que *Procesa* desempila la etiqueta correspondiente a la variable de la  $MA$  de la regla que será utilizada para continuar con el análisis o también empieza a desempilar en las líneas 21 a 26 para el caso en que ya fueron almacenadas todas las etiquetas correspondientes a las variables encontradas en la fila de  $M_{H_I}$  que está siendo procesada.

**caso b)** Cuando ambas matrices no se corresponden, porque al menos hay alguna fila en la que no se empatan las dos matrices. De acuerdo a la iteración más interna en las líneas 4, 5 a 16 y 32: *Empata* devolvería la variable  $V_n$  para que en la iteración intermedia en las líneas 27 a 32: *Procesa* tomará una nueva matriz de adyacencias  $M_A$  para el hipergrafo  $R$  de la regla de producción  $A \rightarrow R$  y verificaría nuevamente, si se da el caso a) o b).

La hipótesis de inducción es  $A \Rightarrow^i H'$  si y sólo si  $Analizador(M'_H, C_R, A)$ .

$k = i + 1$  : Si el número de pasos es  $i + 1$  entonces  $A \Rightarrow^i H'$ ; por lo tanto, debe existir una hiperarista  $X$  y una producción de la forma  $X \rightarrow R$ , tal que  $A \Rightarrow^i H'[X/R] \Rightarrow H$ . Por la hipótesis de inducción,  $Analizador(M_{H'}, C_R, A)$  regresaría *true*; pero como  $H'$  contiene una hiperarista etiquetada  $X$  y  $HRG$  contiene una regla de producción de la forma  $X \rightarrow R$ , entonces el algoritmo  $Analizador(M_{H_I}, C_R, A)$  haría lo siguiente: tomaría la matriz de adyacencias  $M_{H_I}$  del hipergrafo de entrada  $H$ , la cual tiene la siguiente forma.

$$\begin{matrix} & n_1 & n_2 & \cdots & n_{q-1} & \infty \\ \begin{matrix} n_1 \\ n_2 \\ \vdots \\ n_{q-1} \\ \infty \end{matrix} & \left( \begin{array}{ccccc} h_{11} & h_{12} & \cdots & h_{1q-1} & h_{1q} \\ h_{21} & h_{22} & \cdots & h_{2q-1} & h_{2q} \\ \cdots & \cdots & \cdots & \cdots & \cdots \\ h_{q-11} & h_{q-12} & \cdots & h_{q-1q-1} & h_{q-1q} \\ \{ \} & \{ \} & \cdots & \{ \} & \{ \} \end{array} \right) \end{matrix}$$

Figura 3.28: Matriz  $M_{H_I}$  para la demostración.

Por hipótesis de inducción y en base a alguno de los casos a) o b) presentados anteriormente se han empatado las  $m$  filas de  $M_{H_I}$ , las cuales además han sido eliminadas de  $M_{H_I}$ . De tal modo que  $M_{H_I}$  tiene la siguiente forma.

### 3.2. ALGORITMO ANALIZADOR

---

$$\begin{array}{c}
 n_1 \quad n_2 \quad \cdots \quad n_{m+1} \quad \cdots \quad n_{q-1} \quad \infty \\
 n_{m+1} \left( \begin{array}{ccccccc}
 h_{m+11} & h_{m+12} & \cdots & h_{m+1m+1} & \cdots & h_{m+1q-1} & h_{m+1q} \\
 \vdots & \cdots & \cdots & \cdots & \cdots & \cdots & \cdots \\
 n_{q-1} & h_{q-11} & h_{q-12} & \cdots & h_{q-1m+1} & \cdots & h_{q-1q-1} & h_{q-1q} \\
 \infty & \{ \} & \{ \} & \cdots & \{ \} & \cdots & \{ \} & \{ \}
 \end{array} \right)
 \end{array}$$

Figura 3.29: Matriz  $M_{H_I}$  para la demostración.

Ahora, *Analizador* tomaría la matriz de adyacencias  $M_{H'}$  del hipergrafo de entrada  $H'$ , la cual tiene la siguiente forma.

$$\begin{array}{c}
 n_1 \quad n_2 \quad \cdots \quad n_{t-2} \quad n_{t-1} \quad \infty \\
 n_1 \left( \begin{array}{cccccc}
 h_{11} & h_{12} & \cdots & h_{1t-2} & h_{1t-1} & h_{1t} \\
 n_2 & h_{21} & h_{22} & \cdots & h_{2t-2} & h_{2t-1} & h_{2t} \\
 \vdots & \cdots & \cdots & \cdots & \cdots & \cdots & \cdots \\
 n_m & h_{m1} & h_{m2} & \cdots & h_{mt-2} & h_{mt-1} & h_{mt} \\
 n_{t-2} & h'_{t-21} & h'_{t-22} & \cdots & \{X\} & h'_{t-2t-1} & h'_{t-2t} \\
 n_{t-1} & h'_{t-11} & h'_{t-12} & \cdots & h'_{t-1t-2} & h'_{t-1t-1} & h'_{t-1t} \\
 \infty & \{ \} & \{ \} & \cdots & \{ \} & \{ \} & \{ \}
 \end{array} \right)
 \end{array}$$

Figura 3.30: Matriz  $M_{H'}$  para la demostración.

En la iteración intermedia en las líneas 21 a 26: *Procesa* desempilará a  $X$  y tomará la matriz de adyacencias  $M_X$  para el hipergrafo  $R$  de la regla  $X \rightarrow R$ , la cual tiene la siguiente forma.

$$\begin{array}{c}
 n'_1 \quad n'_2 \quad \cdots \quad n'_{p-1} \quad \infty \\
 n'_1 \left( \begin{array}{ccccc}
 x_{11} & x_{12} & \cdots & x_{1p-1} & x_{1p} \\
 n'_2 & x_{21} & x_{22} & \cdots & x_{2p-1} & x_{2p} \\
 \vdots & \cdots & \cdots & \cdots & \cdots & \cdots \\
 n'_{p-1} & x_{p-11} & x_{p-12} & \cdots & x_{p-1p-1} & x_{p-1p} \\
 \infty & \{ \} & \{ \} & \cdots & \{ \} & \{ \}
 \end{array} \right)
 \end{array}$$

Figura 3.31: Matriz  $M_X$  para la demostración.

En este caso, las  $p - 1$  filas de la matriz  $M_X$  empatarían con  $t - 1$  filas de  $M_{H'}$ , pues la fila  $n_{t-2}$  de  $M_{H'}$  no empata con ninguna fila de  $M_X$ . Esto se observa en la iteración más interna en las líneas 5 a 16 y 21 a 24: *Empata* comprobará que ambas matrices no se corresponden debido a que  $M_{H'}$  contiene a la variable  $X$ .

De tal modo, que la matriz de adyacencias  $M_{H_I}$  para el hipergrafo de entrada  $H_I$  tiene la siguiente forma.

$$\begin{array}{c}
 n'_1 \\
 n'_2 \\
 \vdots \\
 n'_m \\
 n'_{m+1} \\
 \dots \\
 n'_{q-1} \\
 \infty
 \end{array}
 \left(
 \begin{array}{ccccc}
 n'_1 & n'_2 & \dots & n'_{q-1} & \infty \\
 h_{11} & h_{12} & \dots & h_{1q-1} & h_{1q} \\
 h_{21} & h_{22} & \dots & h_{2q-1} & h_{2q} \\
 \dots & \dots & \dots & \dots & \dots \\
 h_{m1} & h_{m2} & \dots & h_{mq-1} & h_{mq} \\
 \dots x_{11} & & \dots & & x_{1p} \dots \\
 \dots x_{p1} & & \dots & & x_{pp} \dots \\
 \dots \{ \} & & \dots & & \{ \} \dots
 \end{array}
 \right)$$

Figura 3.32: Matriz  $M_H$  que subsume a  $M_X$  para la demostración.

En esta matriz  $M_H$  las primeras  $m$  filas corresponden a aquellas que ya han sido empatadas por la hipótesis de inducción. Las filas restantes  $q-m$  aún por empatar, corresponden a  $M_X$  subsumida en  $M_H$ . Al comparar las  $q-m$  filas de la matriz  $M_H$  con las  $p-1$  filas de  $M_X$ , se puede dar cualquiera de los casos a) o b), explicados con anterioridad. De tal modo, que la matriz de adyacencias  $M_H$  para el hipergrafo de entrada  $H$  tiene la siguiente forma.

$$\begin{array}{ccccc}
 n'_1 & n'_2 & \dots & n'_{q-1} & \infty \\
 \infty & (\dots \{ \} & \dots & & \{ \} \dots)
 \end{array}$$

Figura 3.33: Matriz  $M_H$  de  $H$  generado por la  $HRG$  para la demostración.

Por lo tanto, el *Analizador* devuelve *true*.

$H_I \notin L_A(HRG)$ : En este caso el algoritmo *Analizador*( $M_{H_I}, C_R, A$ ) haría lo siguiente, tomaría la matriz de adyacencias  $M_{H_I}$  del hipergrafo de entrada  $H_I$  y cada una de las matrices de adyacencias  $M_A$  del hipergrafo  $R$  de la regla de producción  $A \rightarrow R$  y en la iteración más interna en las líneas 5 a 16: *Empata* comprobaría que ambas matrices no se corresponden. Entonces, en la iteración intermedia en las líneas 21 a 26: *Procesa* desempilaría cada una de las  $M_A$  restantes y en la iteración más externa en las líneas 5 a 24: *Analizador* comprobaría que  $M_{H_I}$  no se corresponde con ninguna de las  $M_A$ . De este modo, el proceso de análisis ya no puede continuar y el algoritmo *Analizador* regresa el valor *false*.

## 3.2. ALGORITMO ANALIZADOR

---

Ahora se presenta la demostración de la corrección del algoritmo  $Analizador(M_H, C_R, S)$

**Corolario 3.2.1.** *Sean  $H \in \mathcal{H}_T$  y  $HRG$  una gramática de reemplazo de hiperaristas; entonces  $H \in L_S(HRG)$  si y sólo si  $Analizador(M_H, C_R, S)$ .*

Demostración. La prueba se sigue directamente sustituyendo  $H \in \mathcal{H}_T$  por  $H$  y el símbolo inicial  $S$  por  $A$  en el desarrollo de la demostración de la proposición 3.2.1.

### 3.2.2. Complejidad del Analizador

La complejidad en tiempo del *Analizador* es de orden polinomial. Esta complejidad está determinada por el número de vértices del hipergrafo de entrada  $H$  (denotado como  $l$ ) y por una constante igual al número de reglas de la  $HRG$  (denotado por  $p$ ). Primero analizaremos la **complejidad para el algoritmo *Empata***, luego para el algoritmo *Procesa* y finalmente para el algoritmo *Analizador*.

Líneas 6 a 17. El número de entradas de  $f_{A_H}$  está representado por  $|f_{A_H}|$  y el número de entradas de  $f_{A_R}$  por  $|f_{A_R}|$ . Cada entrada es un conjunto representado por  $x$  y  $y$  y  $\min(|x|, |y|)$  es el tiempo que lleva ejecutar el bloque de sentencias de la línea 7 a 16. El tiempo necesario para ejecutar la iteración que inicia en la línea 6 y finaliza en la línea 17, se representa en la siguiente sumatoria.

$$t_1 = \sum_{i=1}^{|f_{A_H}|} \sum_{j=1}^{|f_{A_R}|} \min(|x|, |y|).$$

Líneas 18 a 28. El número de entradas de  $f_{A_R}$  está representado por  $|f_{A_R}|$ , donde cada entrada es un conjunto y  $C_1$  es el costo necesario para ejecutar el bloque de sentencias, el que inicia en la línea 19 a 27. El tiempo necesario para ejecutar la iteración que inicia en la línea 18 y finaliza en la línea 28, se representan en la siguiente sumatoria.

$$t_2 = \sum_{j=1}^{|f_{A_R}|} C_1.$$

Líneas 3 a 35. El número de filas de cada regla  $M_R$  está representado por  $|M_R|$ . El tiempo necesario para ejecutar las iteración que inicia en la línea 3 y termina en la línea 35, se representa en la siguiente sumatoria.

$$t_3 = \sum_{k=1}^{|M_R|} (t_1 + t_2) = |M_R| |f_{A_H}| |f_{A_R}| \min(|x|, |y|)$$

$$+|f_{A_R}|C_1.$$

Sabemos que el número de filas en  $M_R$  para cualquier regla, no puede ser mayor que el número de vértices de  $H$ . Lo mismo sucede para el número de conjuntos de  $f_{A_H}$ , el número de conjuntos de  $f_{A_R}$  y también para  $\min(|x|, |y|)$ . Por lo tanto,

$$t_3 = l(l^3 + lC_1) = l^4 + l^2C_1.$$

Entonces, la complejidad de *Empata* es de  $O(l^4)$ .

La **complejidad para el algoritmo *Procesa*** se calcula de la siguiente forma:

En las líneas 6 a 14. El número de entradas de  $f_{A_H}$  está representado por  $|f_{A_H}|$ , donde cada entrada es un conjunto y  $C_2$  es el costo necesario para ejecutar el bloque de sentencias que inicia en la línea 7 a 13. Así el tiempo que toma ejecutar la iteración que inicia en la línea 6 y finaliza en la línea 14, se representa en la siguiente sumatoria.

$$t_4 = \sum_{i=1}^{|f_{A_H}|} C_2.$$

Líneas 28 a 36. El número de reglas de  $C_R$  es igual a la constante  $p$  y  $C_3$  es el costo necesario para ejecutar el bloque de sentencias que inicia en la línea 29 a 35. La siguiente sumatoria representa el tiempo requerido para ejecutar las iteración que inicia en la línea 28 y termina en la línea 36.

$$t_5 = \sum_{i=1}^{|C_R|} C_3 = |C_R|C_3 = pC_3.$$

Líneas 3 a 37. El número de variables por cada fila de cada regla  $M_R$  está representado por  $|P_{Var}|$ . De este modo. la siguiente sumatoria representa el tiempo requerido para ejecutar la iteración que inicia en la línea 3 y termina en la línea 37.

$$t_6 = \sum_{k=1}^{|P_{Var}|} (t_4 + t_5) = |P_{Var}||f_{A_H}|C_2 + pC_3.$$

Asumimos que el número de variables en  $P_{Var}$  para cualquier fila no puede ser mayor que el número de vértices de  $H$ . Lo mismo ocurre con el número de conjuntos de  $f_{A_H}$ . Por lo tanto,

$$t_6 = l(lC_2 + pC_3) = l^2C_2 + lpC_3.$$

Entonces, la complejidad de *Procesa* es de  $O(l^2)$ .

La **complejidad para el *Analizador*** se calcula de la siguiente forma:

Línea 5 a 24. El tiempo requerido para ejecutar la iteración que inicia en la línea 5 y termina en la línea 24, se representa en la siguiente sumatoria.

$$t_7 = \sum_{i=1}^{|M_H|} (t_3 + t_6) = l^4 + l^2C_1 + l^2C_2 + lpC_3.$$

Como el número de vértices de  $H$  es una cota superior para  $M_H$ ; es decir,  $l > |M_H|$ , entonces el tiempo total  $T$  para *Analizador* se calcula de la siguiente forma:

$$T = l(l^4 + l^2C_1 + l^2C_2 + lpC_3) = l^5 + l^3C_1 + l^3C_2 + l^2pC_3.$$

Por lo tanto, la complejidad de *Analizador* es de  $O(l^5)$ .

### 3.2.3. Discusión de la Complejidad

Muchos de los problemas intratables en grafos e hipergrafos se pueden resolver de manera eficiente sobre clases de instancias con ancho hiperarbóreo acotado [26],[37].

Hay un resultado que dice que todos los hipergrafos cuando tienen ancho hiperarbóreo acotado pertenecen a la clase de problemas *FPT*. Los hipergrafos enraizados, dirigidos y acíclicos tienen ancho hiperarbóreo acotado [40], [34] [41], [38] y [35].

De lo anterior se deduce que el problema de membresía en las *HRG*, que se ha resuelto, pertenece a la clase *FPT*, ya que las *HRG* se han restringido a hipergrafos con ancho hiperarbóreo acotado [41], [38] y [35]. No obstante, este tipo de *HRG* restringidas son suficientes para modelar los hipergrafos que se obtienen en la AMR, las cuales han sido la motivación de este trabajo de tesis.

---

# Conclusiones

---

Se revisaron los trabajos relacionados con el problema de membresía en  $HRG$ , con el propósito de identificar los métodos propuestos para resolver dicho problema. Para este algoritmo que se propone se tuvo que utilizar una definición alternativa de matriz de adyacencias, la cual es una generalización para la matriz de adyacencias de un grafo. En contraste con otras propuestas para el problema de membresía, este concepto alternativo de matriz de adyacencias permite abordar el problema a través de un enfoque algebraico conjuntista.

Posteriormente, se propuso el algoritmo *Analizador* para resolver el problema de membresía en  $HRG$ , el cual lleva a cabo el análisis directamente en la Matriz de Adyacencias correspondiente al hipergrafo de entrada  $H$  a diferencia de otros autores, los cuales proponen llevar a cabo el análisis directamente en el hipergrafo  $H$ .

Finalmente, se presentó de forma explícita el análisis de la complejidad para el algoritmo propuesto, la cual es polinomial del orden  $O(l^5)$ , donde  $l$  es el número de vértices del hipergrafo de entrada. Además, se pudo concluir que el algoritmo propuesto es eficiente y correcto, para lo cual se desarrolló la demostración de su corrección.

## 4.1. Contribuciones

Las contribuciones de este trabajo de investigación son:

1. Se ha presentado el algoritmo *Analizador* para resolver el problema de membresía en  $HRG$ .
2. Se ha presentado el análisis de la complejidad para el algoritmo propuesto, la cual es polinomial del orden  $O(l^5)$ , donde  $l$  es el número de vértices del hipergrafo de entrada. Además este análisis se ha presentado de manera explícita a diferencia de las presentadas por otros autores.
3. Se ha definido el concepto de matriz de adyacencias, el cual es una generalización de la matriz de adyacencias de un grafo, correspondiente al hipergrafo de entrada  $H$ .



## 4.2. TRABAJO A FUTURO

---

4. Es importante destacar que se ha demostrado la corrección del algoritmo *Analizador*, lo cual contrasta con las propuestas algorítmicas de otros autores.

### 4.2. Trabajo a Futuro

1. Se realizará la implementación del algoritmo *Analizador* propuesto.
2. Se analizará la alternativa de aplicar el algoritmo propuesto a otras áreas y no solo a PLN para resolver problemas que pueden ser modelados a través de la Representación de Significado Abstracto. Áreas como Teoría de Juegos, Bases de Datos e Inteligencia Artificial, entre otras.

---

# Bibliografía

---

- [1] Lautemann, C.: The complexity of graph languages generated by hyperedge replacement. *Acta Informatica* **27**(5) (Apr 1990) 399–421
- [2] Ehrig, H., Engels, G., Kreowski, H.J., Rozenberg, G., eds.: *Handbook of Graph Grammars and Computing by Graph Transformation: Vol. 2: Applications, Languages, and Tools*. World Scientific Publishing Co., Inc., River Edge, NJ, USA (1999)
- [3] Drewes, F., Kreowski, H.J., Habel, A.: *Handbook of graph grammars and computing by graph transformation*. World Scientific Publishing Co., Inc., River Edge, NJ, USA (1997) 95–162
- [4] Bauderon, M., Courcelle, B.: Graph expressions and graph rewritings. *Mathematical systems theory* **20**(1) (1987) 83–127
- [5] Habel, A., Kreowski, H.J.: May we introduce to you: Hyperedge replacement. In Ehrig, H., Nagl, M., Rozenberg, G., Rosenfeld, A., eds.: *Graph-Grammars and Their Application to Computer Science*, Berlin, Heidelberg, Springer Berlin Heidelberg (1987) 15–26
- [6] Peng, X., Song, L., Gildea, D.: A synchronous hyperedge replacement grammar based approach for amr parsing. In: *Proceedings of the Nineteenth Conference on Computational Natural Language Learning, Association for Computational Linguistics* (2015) 32–41
- [7] Peuser, C.: From hyperedge replacement grammars to decidable hyperedge replacement games. In Mazzara, M., Ober, I., Salaün, G., eds.: *Software Technologies: Applications and Foundations - STAF 2018 Collocated Workshops, Toulouse, France, June 25-29, 2018, Revised Selected Papers*. Volume 11176 of *Lecture Notes in Computer Science*., Springer (2018) 463–478
- [8] Rozenberg, G.: *Handbook of graph grammars and computing by graph transformation*. (01 1997)

## BIBLIOGRAFÍA

---

- [9] Bauer, D., Rambow, O.: Hyperedge replacement and nonprojective dependency structures. In Chiang, D., Koller, A., eds.: Proceedings of the 12th International Workshop on Tree Adjoining Grammars and Related Formalisms (TAG+12), June 29 - July 1, 2016, Heinrich Heine University, Düsseldorf, Germany, The Association for Computer Linguistics (2016) 103–111
- [10] Gallo, G., Scutellà, M.: Directed hypergraphs as a modelling paradigm. *Decisions in Economics and Finance* **21** (02 1998) 97–123
- [11] Björklund, H., Drewes, F., Ericson, P., Starke, F.: Uniform parsing for hyperedge replacement grammars. *Journal of Computer and System Sciences* **118** (2021) 1–27
- [12] Aalbersberg, I., Rozenberg, G., Ehrenfeucht, A.: On the membership problem for regular dnlc grammars. *Discrete Applied Mathematics* **13**(1) (1986) 79–85
- [13] Lange, K.J., Welzl, E.: String grammars with disconnecting or a basic root of the difficulty in graph grammar parsing. *Discrete Applied Mathematics* **16**(1) (1987) 17–30
- [14] Jones, B., Andreas, J., Bauer, D., Hermann, K.M., Knight, K.: Semantics-based machine translation with hyperedge replacement grammars. In: Proceedings of COLING 2012, The COLING 2012 Organizing Committee (2012) 1359–1376
- [15] Chiang, D., Andreas, J., Bauer, D., Hermann, K.M., Jones, B., Knight, K.: Parsing graphs with hyperedge replacement grammars. In: Proceedings of the 51st Annual Meeting of the Association for Computational Linguistics (Volume 1: Long Papers), Association for Computational Linguistics (2013) 924–932
- [16] Banarescu, L., Bonial, C., Cai, S., Georgescu, M., Griffitt, K., Hermjakob, U., Knight, K., Koehn, P., Palmer, M., Schneider, N.: Abstract meaning representation for sembanking. In: Proceedings of the 7th Linguistic Annotation Workshop and Interoperability with Discourse, Association for Computational Linguistics (2013) 178–186
- [17] Gilroy, S., Lopez, A., Maneth, S.: Parsing graphs with regular graph grammars. In: Proceedings of the 6th Joint Conference on Lexical and Computational Semantics (\*SEM 2017), Vancouver, Canada, Association for Computational Linguistics (August 2017) 199–208
- [18] Courcelle, B.: The monadic second-order logic of graphs V: on closing the gap between definability and recognizability. *Theor. Comput. Sci.* **80**(2) (1991) 153–202

- 
- [19] Drewes, F.: Dag automata for meaning representation. In: Proceedings of the 15th Meeting on the Mathematics of Language, Association for Computational Linguistics (2017) 88–99
- [20] Björklund, H., Drewes, F., Ericson, P.: Between a rock and a hard place uniform parsing for hyperedge replacement dag grammars. (02 2016) 521–532
- [21] Björklund, H., Drewes, F., Ericson, P., Starke, F.: Uniform parsing for hyperedge replacement grammars. *Journal of Computer and System Sciences* **118** (11 2020)
- [22] Björklund, H., Drewes, F., Ericson, P.: Parsing weighted order-preserving hyperedge replacement grammars. In: Proceedings of the 16th Meeting on the Mathematics of Language, Toronto, Canada, Association for Computational Linguistics (July 2019) 1–11
- [23] Habel: *Hyperedge Replacement: Grammars and Languages*. 1st edn. University of Bremen, United States of America (1991)
- [24] Rozenberg, G., Welzl, E.: Boundary nlc graph grammars basic definitions, normal forms, and complexity. *Information and Control* **69** (04 1986) 136–167
- [25] Engelfriet, J.: *Handbook of formal languages, vol. 3*. Springer-Verlag New York, Inc., New York, NY, USA (1997) 125–213
- [26] Gottlob, G., Grohe, M., Musliu, N., Samer, M., Scarcello, F.: Hypertree decompositions: Structure, algorithms, and applications. In Kratsch, D., ed.: *Graph-Theoretic Concepts in Computer Science*, Berlin, Heidelberg, Springer Berlin Heidelberg (2005) 1–15
- [27] Groschwitz, J., Koller, A., Teichmann, C.: Graph parsing with s-graph grammars. In: Proceedings of the 53rd Annual Meeting of the Association for Computational Linguistics and the 7th International Joint Conference on Natural Language Processing of the Asian Federation of Natural Language Processing, ACL 2015, July 26-31, 2015, Beijing, China, Volume 1: Long Papers, The Association for Computer Linguistics (2015) 1481–1490
- [28] Aguiñaga, S., Chiang, D., Weninger, T.: Learning hyperedge replacement grammars for graph generation. *CoRR* **abs/1802.08068** (2018)

## BIBLIOGRAFÍA

---

- [29] Minas, M.: Hypergraphs as a uniform diagram representation model. In: Selected Papers from the 6th International Workshop on Theory and Application of Graph Transformations. TAGT'98, London, UK, UK, Springer-Verlag (2000) 281–295
- [30] Downey, R.G., Fellows: Parameterized computational feasibility, in feasible mathematics. **13** (1995) 219–244
- [31] Flum, J., Grohe, M.: Parameterized Complexity Theory (Texts in Theoretical Computer Science. An EATCS Series). Springer-Verlag, Berlin, Heidelberg (2006)
- [32] Pilipczuk, M.: Tournaments and Optimality: New Results in Parameterized Complexity. PhD thesis, University of Bergen Norway (August 2013)
- [33] Niedermeier, R.: Invitation to Fixed-Parameter Algorithms. Oxford Lecture Series in Mathematics and Its Applications. OUP Oxford (2006)
- [34] Cygan, M., Fomin, F.V., Kowalik, L., Lokshtanov, D., Marx, D., Pilipczuk, M., Pilipczuk, M., Saurabh, S.: Parameterized Algorithms. 1st edn. Springer Publishing Company, Incorporated (2015)
- [35] Bodlaender, H.L.: A partial  $k$ -arboretum of graphs with bounded treewidth. *Theor. Comput. Sci.* **209**(1-2) (December 1998) 1–45
- [36] Gildea, D.: Grammar factorization by tree decomposition. *Comput. Linguist.* **37**(1) (March 2011) 231–248
- [37] Bodlaender, H.L.: Treewidth: Algorithmic techniques and results. In Prívvara, I., Ružička, P., eds.: *Mathematical Foundations of Computer Science 1997*, Berlin, Heidelberg, Springer Berlin Heidelberg (1997) 19–36
- [38] Courcelle, P.B., Engelfriet, D.J.: *Graph Structure and Monadic Second-Order Logic: A Language-Theoretic Approach*. 1st edn. Cambridge University Press, New York, NY, USA (2012)
- [39] Gottlob, G., Miklós, Z., Schwentick, T.: Generalized hypertree decompositions: Np-hardness and tractable variants. *J. ACM* **56**(6) (September 2009)
- [40] Adler, I., Gottlob, G., Grohe, M.: Hypertree width and related hypergraph invariants. *Eur. J. Comb.* **28**(8) (2007) 2167–2181

- 
- [41] Downey, R.G., Fellows, M.R.: Fixed-parameter tractability and completeness i: Basic results. *SIAM J. Comput.* **24**(4) (August 1995) 873–921